

第二章 射频与微波基础知识

- 传输线
- 传输线阻抗变换
- 二端口网络与**S**参数
- **Smith**圆图
- 阻抗匹配

传输线(Transmission Lines)

➤ 分布(distributed)系统与集总(lumped)系统

— 环路电压和节点电流定律在任何时候都成立吗？

当然，如果模型正确的话。

— 任何电路、元器件、连接线本质上都是分布系统，在某些条件下它们的分布特性可以被忽略，正如在某些条件下微积分可以简化为四则运算

— 对于一条长度为 l 的低损耗连接线和波长为 λ 的信号

- 当 $l \ll 0.1 \lambda$ ，连线可以看成理想的电路连接线(阻抗为0的集总系统)

- 当 $l > 0.1 \lambda$ ，我们认为它是一个分布系统——传输线

➤ IC Design需要传输线知识吗？

— 空气中1GHz信号的波长为30cm，芯片的尺寸以mm计，因此在这个频段附近(lower GHz)的RFIC内部通常还不需要考虑传输线效应

— 空气中10GHz信号的波长为3cm，芯片的尺寸以mm计，不能满足 $l \ll 0.1 \lambda$ 条件，需要考虑传输线效应

传输线(Transmission Lines)

- 当频率高到一定程度，电路中存在较长的连线，或者需要精确分析电路的工作情况，即使是IC设计也不得不使用传输线理论
- IC与外界连接时(不论是测试还是实际应用)都将用到传输线
- 传输线现象是典型的高频现象，传输线理论是理解高频电路、信号和系统的基础和重点

➤ 抽象的传输线

- 一根信号线和地(线或面)就组成了传输线
- 电磁波将沿信号线传输并被限制在信号线和地之间

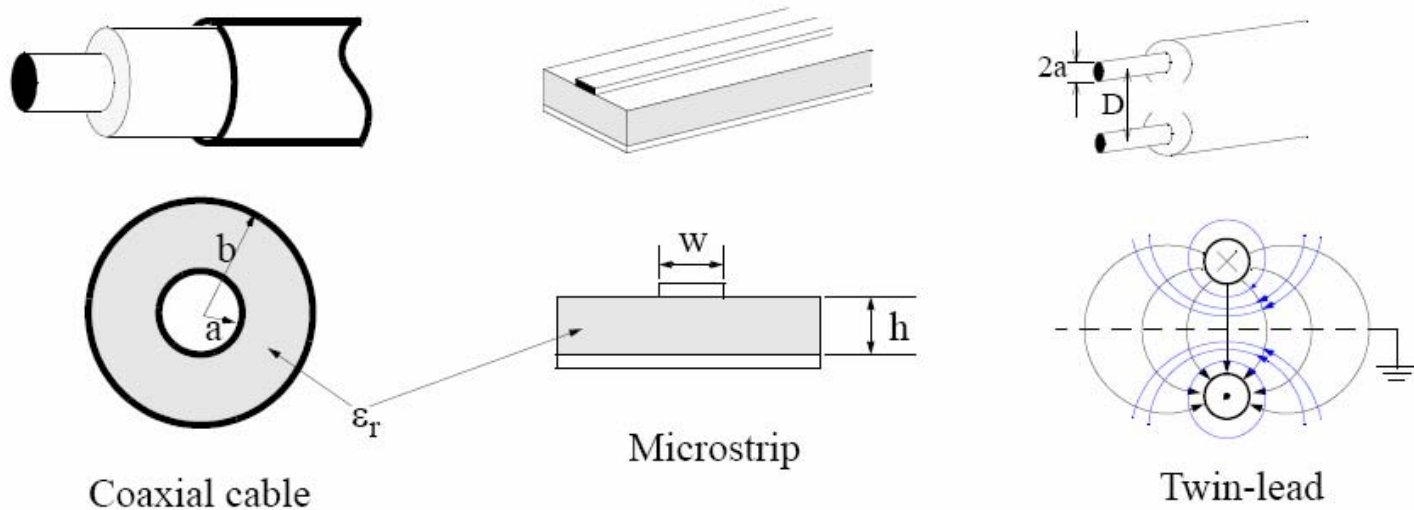


一段传输线

传输线(Transmission Lines)

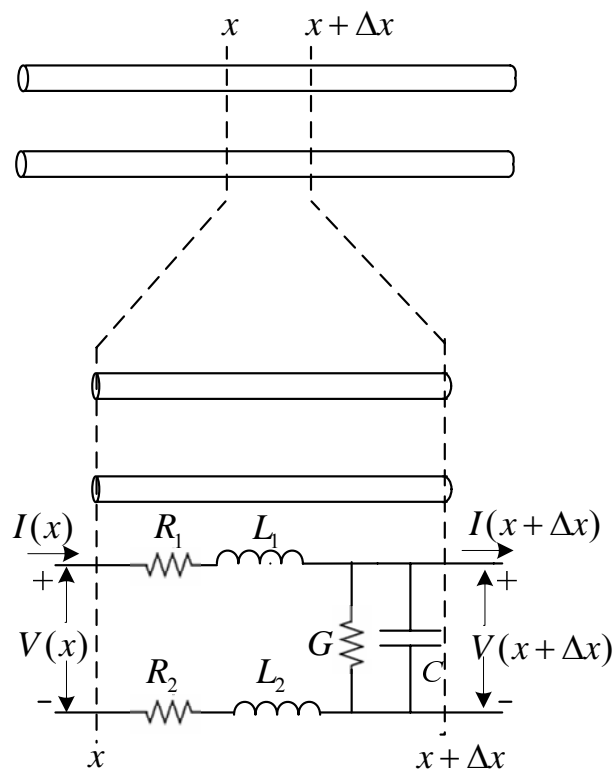
➤ 具体的传输线

- 同轴线或同轴电缆(coaxial cable), 平行双线(twin-lead, two wire)
- 微带线 (microstrip), 共面波导(co-planar wave guide, CPW)



传输线(Transmission Lines)

►传输线电路模型：L、C、R、G分布系统



R——两根导线每单位长度具有的电阻，其单位为 Ω/m 。

L——两根导线每单位长度具有的电感，其单位为 H/m 。

G——每单位长度导线之间具有的电导，其单位为 S/m 。

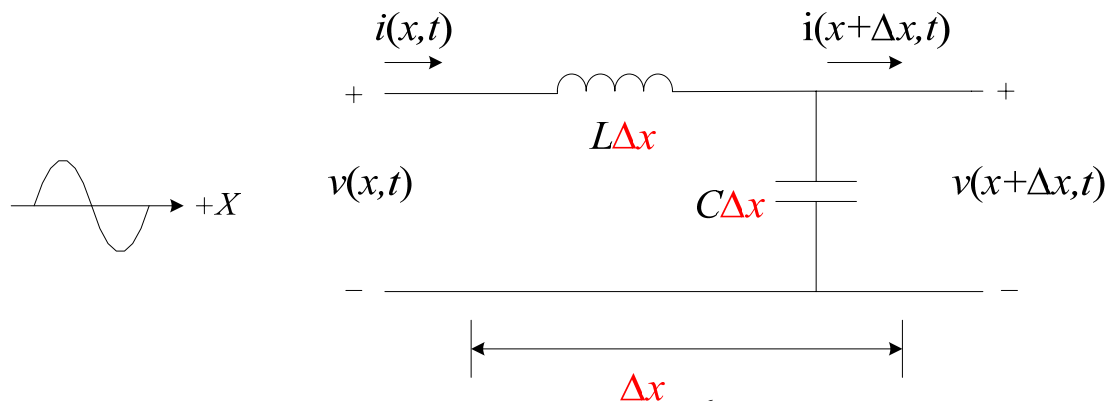
C——每单位长度导线之间具有的电容，其单位为 F/m 。

Table 1: Transmission Line Parameters

	Twin-Lead	Coaxial	Microstrip
L	$\frac{\mu}{\pi} \ln\left(\frac{D}{a}\right)$	$\frac{\mu}{2\pi} \ln\left(\frac{b}{a}\right)$	$\frac{\mu h}{w}$
C	$\frac{\pi \epsilon}{\ln(D/a)}$	$\frac{2\pi \epsilon}{\ln(b/a)}$	$\frac{\epsilon w}{h}$

传输线(Transmission Lines)

➤ 无损耗传输线上的电压和电流

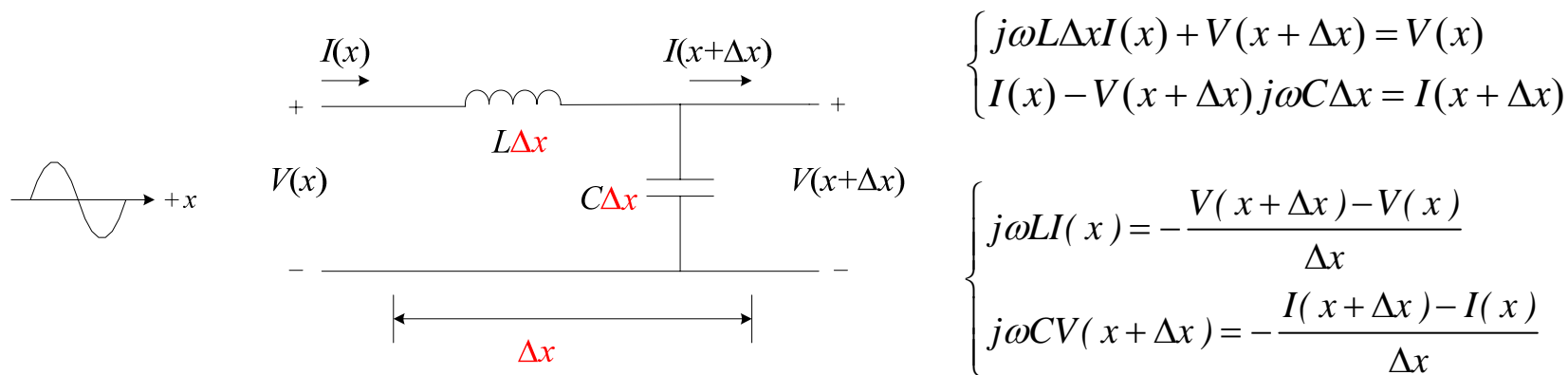


$$\begin{cases} v(x, t) = L\Delta x \frac{\partial}{\partial t} i(x, t) + v(x + \Delta x, t) \\ i(x, t) = C\Delta x \frac{\partial}{\partial t} v(x + \Delta x, t) + i(x + \Delta x, t) \end{cases} \quad \longrightarrow \quad \begin{cases} -\frac{v(x + \Delta x, t) - v(x, t)}{\Delta x} = L \frac{\partial}{\partial t} i(x, t) \\ -\frac{i(x + \Delta x, t) - i(x, t)}{\Delta x} = C \frac{\partial}{\partial t} v(x + \Delta x, t) \end{cases}$$

$$\begin{cases} L \frac{\partial i(x, t)}{\partial t} = -\frac{\partial v(x, t)}{\partial x} \\ C \frac{\partial v(x, t)}{\partial t} = -\frac{\partial i(x, t)}{\partial x} \end{cases} \quad \longrightarrow \quad \begin{cases} \frac{\partial^2}{\partial x^2} v(x, t) = LC \frac{\partial^2}{\partial t^2} v(x, t) \\ \frac{\partial^2}{\partial x^2} i(x, t) = LC \frac{\partial^2}{\partial t^2} i(x, t) \end{cases} \quad \begin{array}{l} \text{具有波动方程形式, 对其求} \\ \text{解可得电压和电流关于时间} t \\ \text{和坐标} x \text{的函数。} \end{array}$$

传输线(Transmission Lines)

► 传输线在正弦激励下的稳态特性



$$\begin{cases} j\omega L I(x) = -\frac{d}{dx} V(x) \\ j\omega C V(x) = -\frac{d}{dx} I(x) \end{cases} \quad \longrightarrow \quad \begin{cases} \frac{d^2}{dx^2} V(x) + \beta^2 V(x) = 0 \\ \frac{d^2}{dx^2} I(x) + \beta^2 I(x) = 0 \end{cases}$$

其中 $\beta = \omega\sqrt{LC}$

称为波的相位常数，单位为rad/m，它表示了在一定频率下行波相位沿传输线的变化情况。

传输线(Transmission Lines)

方程的通解:

$$\begin{cases} V(x) = V_0^+ e^{-j\beta x} + V_0^- e^{j\beta x} = V^+(x) + V^-(x) \\ I(x) = \frac{\beta}{\omega L} [V_0^+ e^{-j\beta x} - V_0^- e^{j\beta x}] = I^+(x) - I^-(x) \end{cases}$$

$$\text{入射电压: } V^+(x) = V_0^+ e^{-j\beta x}$$

$$\text{反射电压: } V^-(x) = V_0^- e^{j\beta x}$$

$$\text{入射电流: } I^+(x) = \frac{\beta V_0^+}{\omega L} e^{-j\beta x}$$

$$\text{反射电流: } I^-(x) = \frac{\beta V_0^-}{\omega L} e^{j\beta x}$$

对它们进行相量域到时间域的反变换可得电压和电流的时域表达式:

$$\begin{cases} v(x, t) = \text{Re} [V(x) e^{j\omega t}] = V_0^+ \cos(\omega t - \beta x) + V_0^- \cos(\omega t + \beta x) \\ i(x, t) = \text{Re} [I(x) e^{j\omega t}] = \frac{\beta}{\omega L} [V_0^+ \cos(\omega t - \beta x) - V_0^- \cos(\omega t + \beta x)] \end{cases}$$

传输线(Transmission Lines)

➤ 相速和特征阻抗

— 相速：定义为行波上某一相位点的传播速度(**Phase velocity**)，对于一个正弦波 $\cos(\omega t - \beta x)$ ，一定相位可表示为 $\omega t - \beta x = \text{constant}$ ，于是相位速度

$$v_p = \frac{dx}{dt} = \frac{\omega}{\beta} = \frac{\omega}{\omega\sqrt{LC}} = \frac{1}{\sqrt{LC}}$$

但是我们知道， $v_p = \lambda f$ 因而

$$\beta = \frac{2\pi}{\lambda}$$

— 传输线特征阻抗(Z_0)：定义为入射电压和入射电流的比值

$$Z_0 = \frac{V^+(x)}{I^+(x)} = \frac{\omega L}{\beta} = \sqrt{\frac{L}{C}}$$

在没有反射波的情况下，传输线上任意一点的输入阻抗为特征阻抗。
由于无限长传输线没有反射波，因此其输入阻抗等于特征阻抗。

传输线(Transmission Lines)

— 特征阻抗计算:

$$\text{对于同轴电缆, } Z_0 = \frac{\sqrt{\mu/\epsilon_0}}{2\pi\sqrt{\epsilon_r}} \ln\left(\frac{b}{a}\right) = \frac{377}{2\pi\sqrt{\epsilon_r}} \ln\left(\frac{b}{a}\right)$$

$$\text{对于微带线, } Z_0 = \frac{\sqrt{\mu/\epsilon_0}}{\sqrt{\epsilon_r}} \frac{h}{w} = \frac{377}{\sqrt{\epsilon_r}} \frac{h}{w} \quad (\text{忽略边缘效应})$$

— 不同传输线的特征阻抗和应用范围

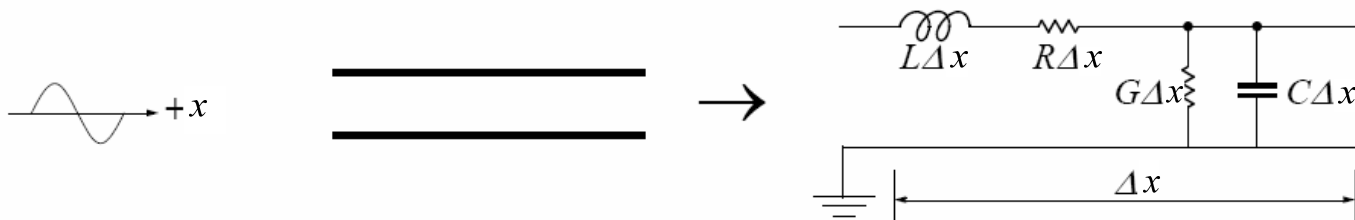
Table 2: Example of different transmission lines.

类型	特征阻抗	频率范围	典型应用
同轴电缆(Coaxial)	50Ω, 75Ω	0-60GHz	Cable TV, LAN, Microwave systems
平行线(Parallel wires)	300Ω	<1GHz	UHF TV
双绞线(Twisted pair)	200-300Ω	<200MHz	Telephone, LAN(<200MHz)
微带线(Microstrip)	15-150Ω	~60GHz	IC and MMIC design, PCB
共面波导(Coplanar waveguide, CPW)	20-170Ω	~100GHz	IC and MMIC, PCB; Ground and signal are on the same side.

传输线(Transmission Lines)

➤ 有损耗的传输线

由于导体的电导率和介质的电阻率都是有限的，损耗不可避免



— 经过同样的推导过程，可以得到

$$\begin{cases} V(x) = V_0^+ e^{-\gamma x} + V_0^- e^{\gamma x} = V^+(x) + V^-(x) = V_0^+ (e^{-\gamma x} + \Gamma_L e^{\gamma x}) \\ I(x) = \frac{1}{Z_0} (V_0^+ e^{-\gamma x} - V_0^- e^{\gamma x}) = I^+(x) - I^-(x) = \frac{V_0^+}{Z_0} (e^{-\gamma x} - \Gamma_L e^{\gamma x}) \end{cases}$$

$$\gamma = \sqrt{(R + j\omega L)(G + j\omega C)} = \alpha + j\beta \quad \text{称为传输常数(propagation constant)}$$

β 即为相位常数; α 称为衰减常数，表示传输线的衰减特性，单位为(Np/m)，**Np与dB的关系为1dB=8.686Np**

$\Gamma_L = V_0^- / V_0^+$ 表示传输线在负载端 ($x=0$) 的反射系数

传输线(Transmission Lines)

- 特征阻抗不再是一个实数

$$Z_0 = \sqrt{\frac{R + j\omega L}{G + j\omega C}}$$

- 当 $R \ll \omega L$, $G \ll \omega C$ 时, β 和 Z_0 近似于无损耗的情况
- 对应的时函数表示为

$$v(x, t) = \text{Re}[V(x)e^{j\omega t}] = \text{Re}[V_0^+ e^{-\alpha x} e^{-j(\beta x - \omega t)} + V_0^- e^{\alpha x} e^{j(\beta x + \omega t)}]$$

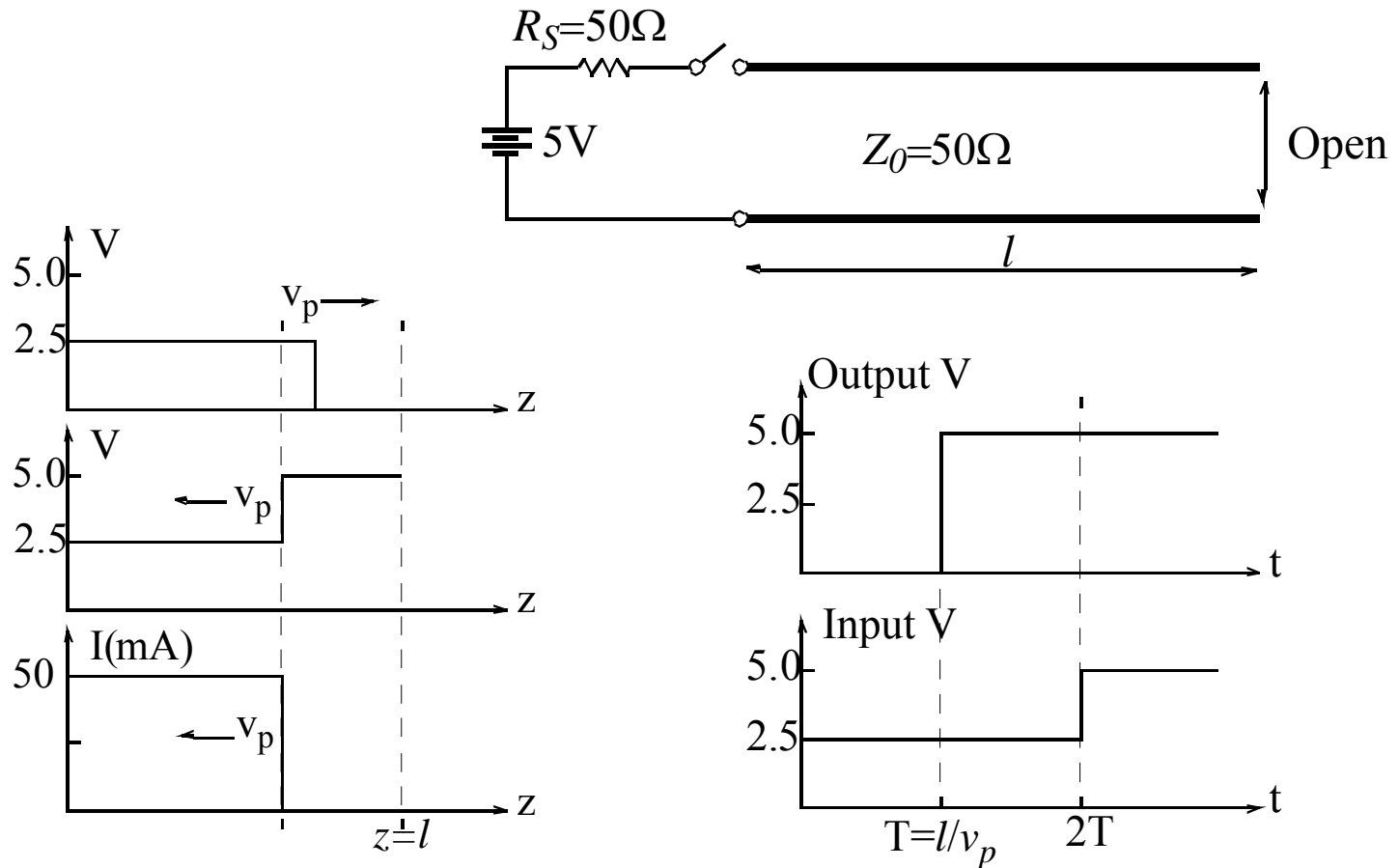
$$i(x, t) = \text{Re}[I(x)e^{j\omega t}] = \text{Re}\left[\frac{V_0^+}{Z_0} e^{-\alpha x} e^{-j(\beta x - \omega t)} - \frac{V_0^-}{Z_0} e^{\alpha x} e^{j(\beta x + \omega t)}\right]$$

➤ 波的反射

- 无限长传输线不存在反射
- 有限长传输线的负载与特征阻抗（实数）相等时, 也不存在反射

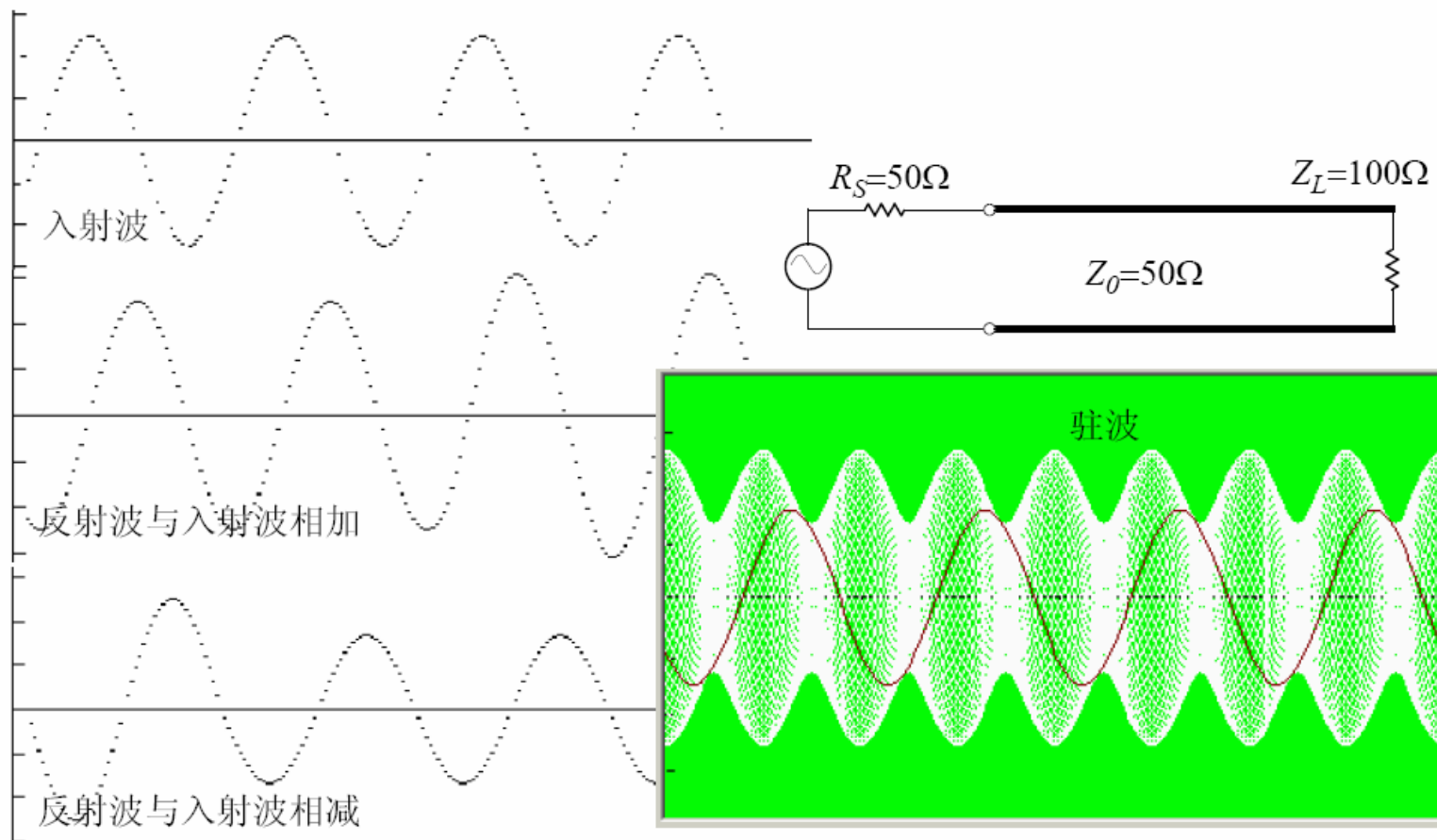
传输线(Transmission Lines)

➤ 一个熟悉的例子



传输线(Transmission Lines)

— 正弦波的情况 ($Z_L=2Z_0$)



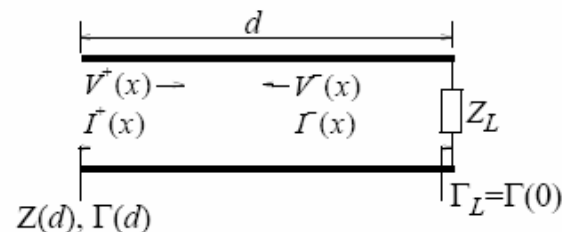
传输线(Transmission Lines)

➤ 反射系数

传输线在 x 处的反射系数用 $\Gamma(x)$ 表示，坐标原点定义在负载处

$$\Gamma(x) = \frac{V^-(x)}{V^+(x)} = \frac{V_0^- e^{\gamma x}}{V_0^+ e^{-\gamma x}} = \Gamma_L e^{2\gamma x}$$

$$\text{其中 } \Gamma_L = \frac{V_0^-}{V_0^+} = \Gamma(0)$$



➤ 输入阻抗

$$Z_{in}(x) = \frac{V(x)}{I(x)} = Z_0 \frac{(e^{-\gamma x} + \Gamma_L e^{\gamma x})}{(e^{-\gamma x} - \Gamma_L e^{\gamma x})} \Rightarrow Z_{in}(0) = Z_0 \frac{(1 + \Gamma_L)}{(1 - \Gamma_L)} = Z_L$$

$$\Rightarrow \Gamma_L = \frac{Z_L - Z_0}{Z_L + Z_0}$$

➤ 在距负载 d 处无损耗传输线的阻抗为

$$Z_{in}(-d) = Z_0 \frac{(e^{\gamma d} + \Gamma_L e^{-\gamma d})}{(e^{\gamma d} - \Gamma_L e^{-\gamma d})} = Z_0 \frac{(1 + \Gamma_L e^{-2\gamma d})}{(1 - \Gamma_L e^{-2\gamma d})}$$

传输线(Transmission Lines)

传输线无损耗 $\gamma = \alpha + j\beta = j\beta$

$$Z(d) = Z_{in}(-d) = Z_0 \frac{(1 + \Gamma_L e^{-2\gamma d})}{(1 - \Gamma_L e^{-2\gamma d})} = Z_0 \frac{(1 + \Gamma_L e^{-2j\beta d})}{(1 - \Gamma_L e^{-2j\beta d})} = Z_0 \frac{(Z_L + jZ_0 \tan \beta d)}{(Z_0 + jZ_L \tan \beta d)}$$

➤ (电压)驻波比

$$\begin{cases} V_{\max} = |V(x)|_{\max} = |V_0^+| + |V_0^-| = |V_0^+|(1 + |\Gamma_L|) \\ V_{\min} = |V(x)|_{\min} = |V_0^+| - |V_0^-| = |V_0^+|(1 - |\Gamma_L|) \end{cases}$$

$$VSWR = \frac{V_{\max}}{V_{\min}} = \frac{I_{\max}}{I_{\min}} = \frac{1 + |\Gamma_L|}{1 - |\Gamma_L|} \quad \Rightarrow \quad |\Gamma_L| = \frac{VSWR - 1}{VSWR + 1}$$

➤ 回波损耗(Return Loss)：传输线上任一点入射功率和反射功率之比

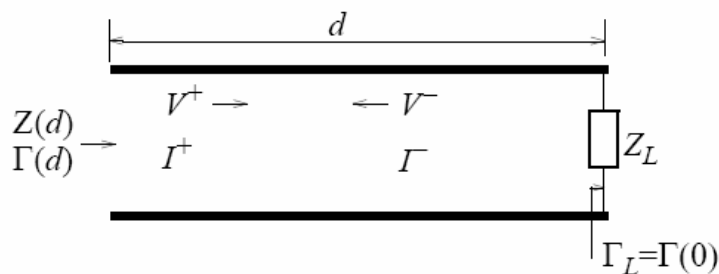
$$RL(dB) = 10 \lg \left(\frac{P_i}{P_o} \right) = 10 \lg \left(\frac{1}{|\Gamma|^2} \right) = -20 \lg |\Gamma|$$

传输线阻抗变换

➤ 基本原理—传输线对阻抗的改变

$$Z(d) = Z_0 \frac{Z_L + jZ_0 \tan \beta d}{Z_0 + jZ_L \tan \beta d}$$

- 短路负载: $Z(d) = jZ_0 \tan \beta d$
- 开路负载: $Z(d) = -jZ_0 \cot \beta d$
- 半波长线 ($d=\lambda/2$): $Z(d) = Z_L$
- 1/4 波长线 ($d=\lambda/4$):

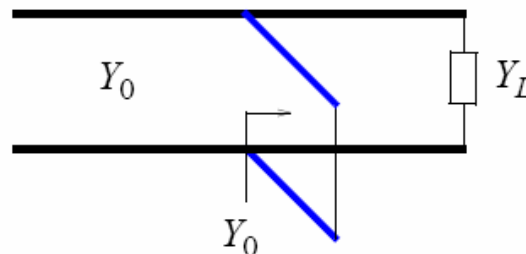
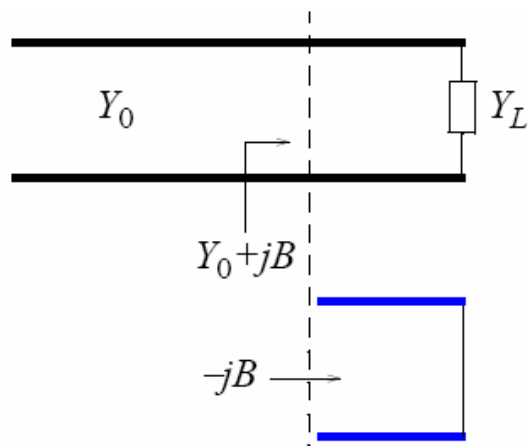


$$Z(d) = \frac{Z_0^2}{Z_L}$$

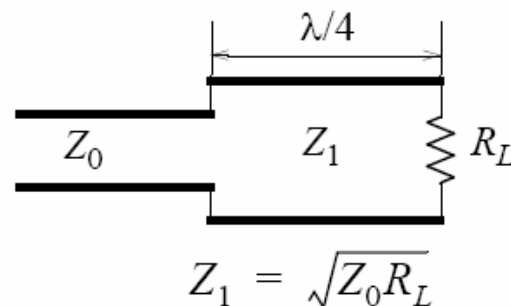
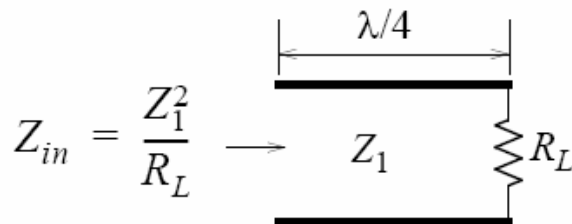
负载开路时输入端短路, 负载短路时输入端开路

传输线阻抗变换

➤ 短截线阻抗变换器(Stub Tuner)

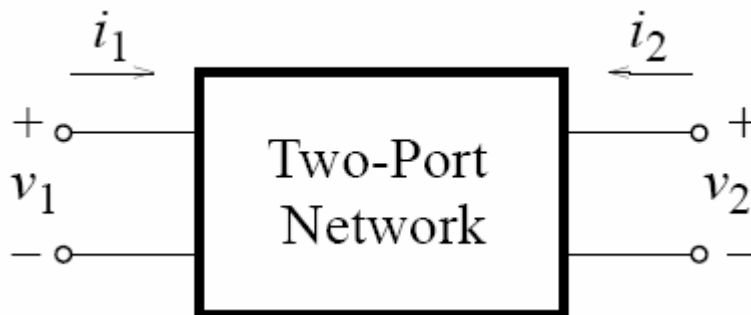


➤ 1/4波长阻抗变换线



二端口网络与S参数

二端口网络是最常见的信号传输系统，包括放大器、滤波器、匹配电路甚至混频器等。描述一个二端口线性网络需要确定其输入输出阻抗、正向和反向传输函数这4个参数。根据不同的需要，人们定义了几套等价的参数来描述二端口网络。



二端口网络与S参数

➤ z-参数

$$\begin{bmatrix} v_1 \\ v_2 \end{bmatrix} = \begin{bmatrix} z_{11} & z_{12} \\ z_{21} & z_{22} \end{bmatrix} \begin{bmatrix} i_1 \\ i_2 \end{bmatrix} \quad \text{or} \quad \begin{cases} v_1 = z_{11}i_1 + z_{12}i_2 \\ v_2 = z_{21}i_1 + z_{22}i_2 \end{cases} \Rightarrow z_{11} = \left. \frac{v_1}{i_1} \right|_{i_2=0}$$

➤ y-参数

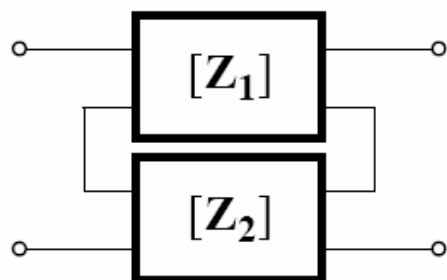
$$\begin{bmatrix} i_1 \\ i_2 \end{bmatrix} = \begin{bmatrix} y_{11} & y_{12} \\ y_{21} & y_{22} \end{bmatrix} \begin{bmatrix} v_1 \\ v_2 \end{bmatrix} \Rightarrow y_{11} = \left. \frac{i_1}{v_1} \right|_{v_2=0}$$

➤ h-参数和ABCD-参数(级联参数)

$$\begin{bmatrix} v_1 \\ i_2 \end{bmatrix} = \begin{bmatrix} h_{11} & h_{12} \\ h_{21} & h_{22} \end{bmatrix} \begin{bmatrix} i_1 \\ v_2 \end{bmatrix} \quad \begin{bmatrix} v_1 \\ i_1 \end{bmatrix} = \begin{bmatrix} A & B \\ C & D \end{bmatrix} \begin{bmatrix} v_2 \\ -i_2 \end{bmatrix}$$

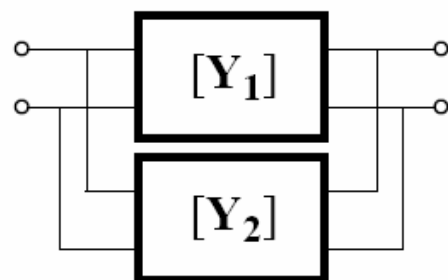
二端口网络与S参数

► z 、 y 和级联参数的应用情况



串联

$$[Z] = [Z_1] + [Z_2]$$

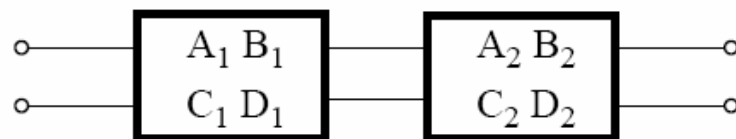


并联

$$[Y] = [Y_1] + [Y_2]$$

级联

$$\begin{bmatrix} A & B \\ C & D \end{bmatrix} = \begin{bmatrix} A_1 & B_1 \\ C_1 & D_1 \end{bmatrix} \begin{bmatrix} A_2 & B_2 \\ C_2 & D_2 \end{bmatrix}$$



二端口网络与S参数

➤ 高频网络参数测量遇到的问题

- 这些二端口参数必须在某个端口开路或短路的条件下，通过测量端口电压电流的方法获得。
- 但是当信号频率很高时，由于寄生元件的存在，理想的开路和短路很难实现，尤其在宽频范围内实现理想的短路和开路会更加困难。
- 即使可以做到接近理想的开路和短路，电路也很有可能因此而不稳定。
- 由于信号以波的形式传播，在不同测量点上幅度和相位都可能不同。
- 这些问题使得基于电压和电流的测量方法难以应用。
- 因此，人们提出了散射参数(Scattering Parameters)的概念

➤ S-参数(散射参数)

- 入射波和反射波 (a 和 b 的平方即为入射和反射波的功率)

$$a = \frac{V^+}{\sqrt{Z_0}}, \quad b = \frac{V^-}{\sqrt{Z_0}}$$

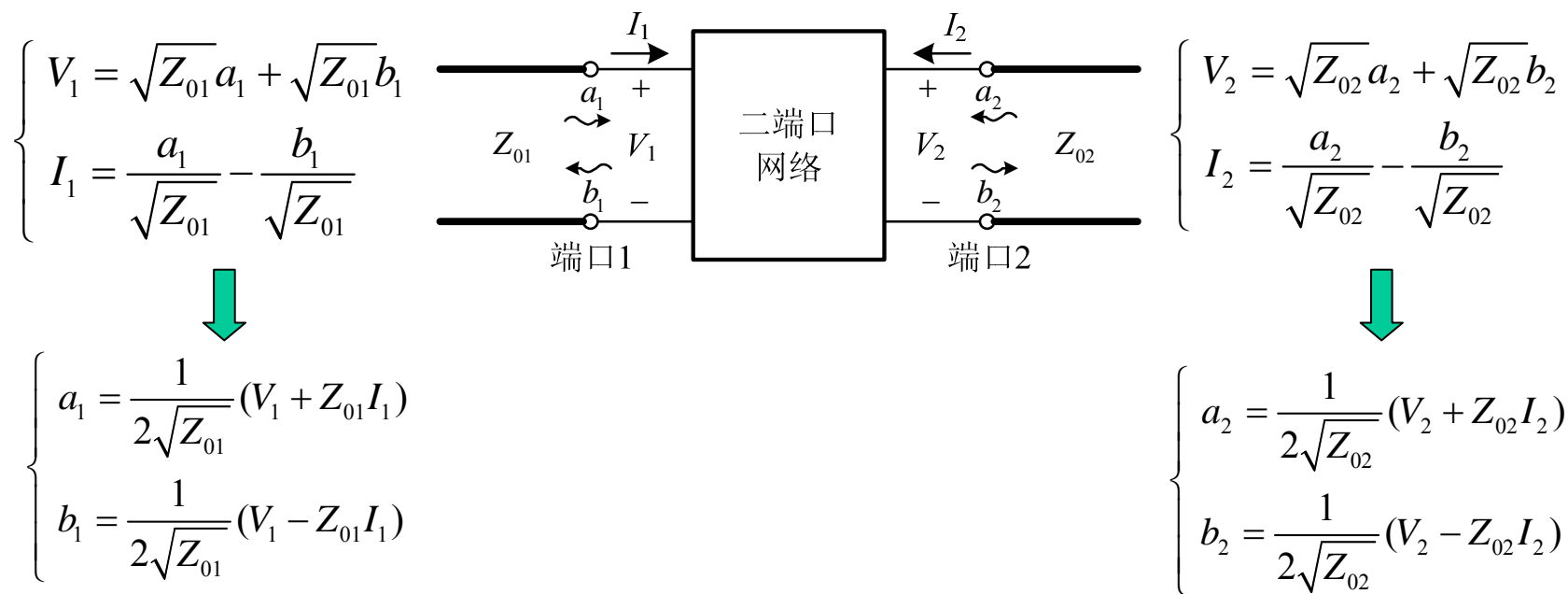
Z. Q. LI

二端口网络与S参数

➤ 反射系数

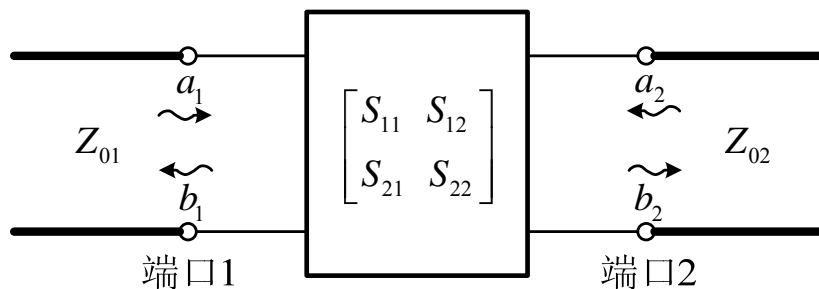
$$\Gamma = \frac{V^-}{V^+} = \frac{b}{a}$$

➤ 相应的二端口网络的模型为



二端口网络与S参数

► S-参数定义



$$\begin{cases} b_1 = S_{11}a_1 + S_{12}a_2 \\ b_2 = S_{21}a_1 + S_{22}a_2 \end{cases} \quad \text{或} \quad \begin{bmatrix} b_1 \\ b_2 \end{bmatrix} = \begin{bmatrix} S_{11} & S_{12} \\ S_{21} & S_{22} \end{bmatrix} \begin{bmatrix} a_1 \\ a_2 \end{bmatrix}$$

测量时需要令 a_1 或 a_2 为0，这可以通过端接匹配负载来实现

二端口网络与S参数

➤ S-参数测量

$$S_{11} = \left. \frac{b_1}{a_1} \right|_{a_2=0} = \Gamma_{IN} \Big|_{a_2=0} \quad (\text{表示端口2匹配时端口1的反射系数})$$

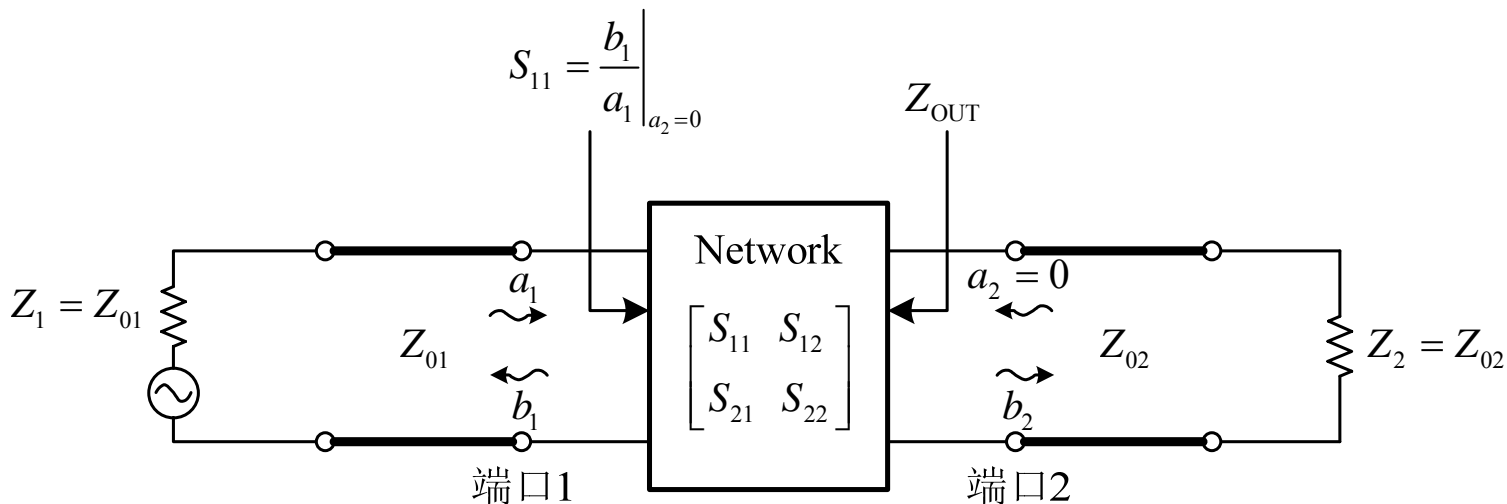
$$S_{22} = \left. \frac{b_2}{a_2} \right|_{a_1=0} = \Gamma_{OUT} \Big|_{a_1=0} \quad (\text{表示端口1匹配时端口2的反射系数})$$

$$S_{12} = \left. \frac{b_1}{a_2} \right|_{a_1=0} \quad (\text{表示二端口网络的反向增益})$$

$$S_{21} = \left. \frac{b_2}{a_1} \right|_{a_2=0} \quad (\text{表示二端口网络的前向增益})$$

二端口网络与S参数

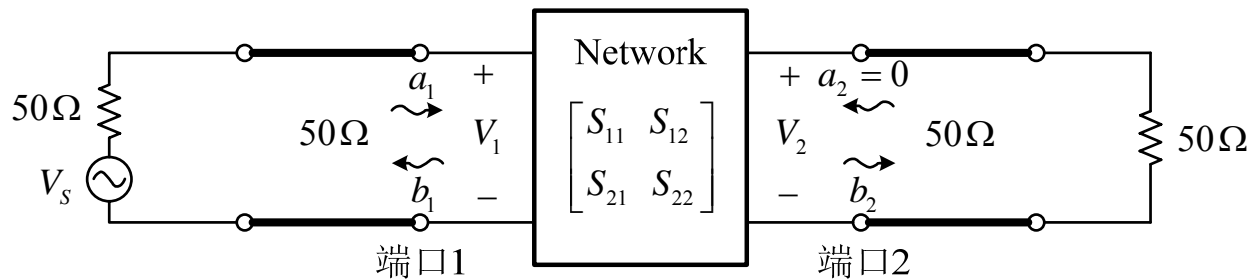
➤ S_{11} 测量



输入和输出端传输线的特征阻抗通常相等，即 $Z_{01} = Z_{02}$ ，设为 50Ω 标准值。

二端口网络与S参数

➤ S_{11} 和 S_{21} 计算

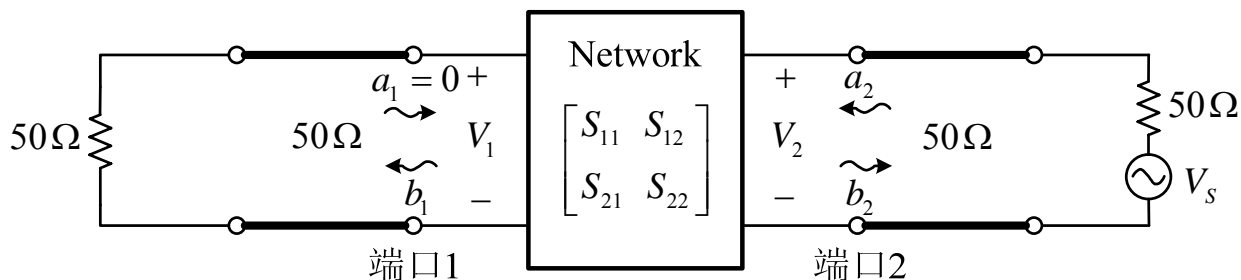


$$\begin{cases} V_1 = V_1^+ + V_1^- \\ V_1^+ = \frac{V_s}{2} \end{cases} \Rightarrow \begin{cases} V_1^- = V_1 - \frac{V_s}{2} \\ V_1^+ = \frac{V_s}{2} \end{cases} \Rightarrow S_{11} = \left. \frac{b_1}{a_1} \right|_{a_2=0} = \frac{V_1^-}{V_1^+} = \frac{2V_1}{V_s} - 1$$

$$\begin{cases} V_2 = V_2^+ + V_2^- \\ V_2^+ = 0 \end{cases} \Rightarrow V_2^- = V_2 \Rightarrow S_{21} = \left. \frac{b_2}{a_1} \right|_{a_2=0} = \frac{V_2^-}{V_1^+} = \frac{2V_2}{V_s}$$

二端口网络与S参数

➤ S_{22} 和 S_{12} 计算



$$\begin{cases} V_2 = V_2^+ + V_2^- \\ V_2^+ = \frac{V_S}{2} \end{cases} \Rightarrow \begin{cases} V_2^- = V_2 - \frac{V_S}{2} \\ V_2^+ = \frac{V_S}{2} \end{cases} \Rightarrow S_{22} = \left. \frac{b_2}{a_2} \right|_{a_1=0} = \frac{V_2^-}{V_2^+} = \frac{2V_2}{V_S} - 1$$

$$\begin{cases} V_1 = V_1^+ + V_1^- \\ V_1^+ = 0 \end{cases} \Rightarrow V_1^- = V_1 \Rightarrow S_{12} = \left. \frac{b_1}{a_2} \right|_{a_1=0} = \frac{V_1^-}{V_2^+} = \frac{2V_1}{V_S}$$

二端口网络与S参数

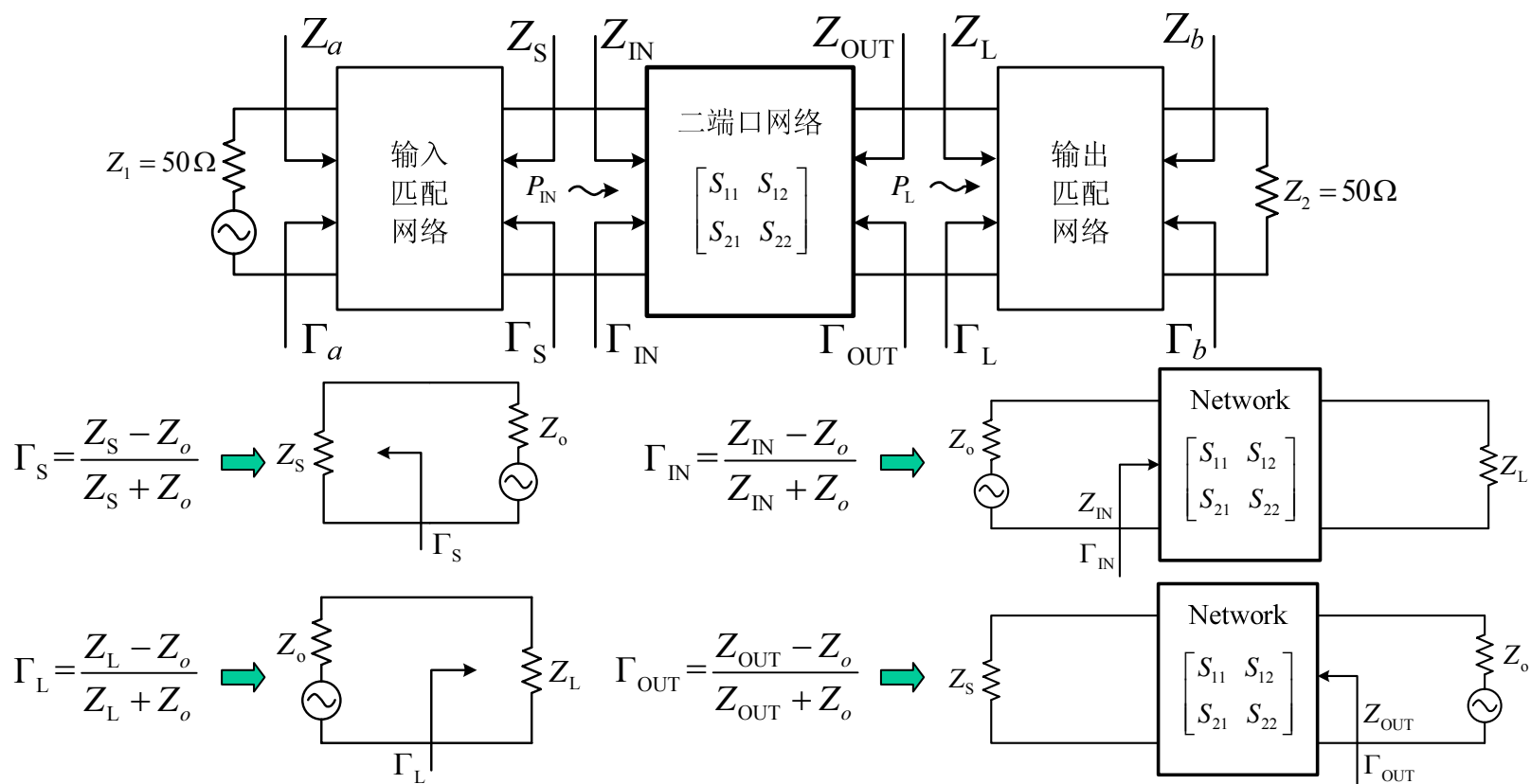
➤ 二端口参数的相互转换

	S	Z	Y	$ABCD$
S_{11}	S_{11}	$\frac{(Z_{11} - Z_0)(Z_{22} + Z_0) - Z_{12}Z_{21}}{\Delta Z}$	$\frac{(Y_0 - Y_{11})(Y_0 + Y_{22}) + Y_{12}Y_{21}}{\Delta Y}$	$\frac{A + B/Z_0 - CZ_0 - D}{A + B/Z_0 + CZ_0 + D}$
S_{12}	S_{12}	$\frac{2Z_{12}Z_0}{\Delta Z}$	$\frac{-2Y_{12}Y_0}{\Delta Y}$	$\frac{2(AD - BC)}{A + B/Z_0 + CZ_0 + D}$
S_{21}	S_{21}	$\frac{2Z_{21}Z_0}{\Delta Z}$	$\frac{-2Y_{21}Y_0}{\Delta Y}$	$\frac{2}{A + B/Z_0 + CZ_0 + D}$
S_{22}	S_{22}	$\frac{(Z_{11} + Z_0)(Z_{22} - Z_0) - Z_{12}Z_{21}}{\Delta Z}$	$\frac{(Y_0 + Y_{11})(Y_0 - Y_{22}) + Y_{12}Y_{21}}{\Delta Y}$	$\frac{-A + B/Z_0 - CZ_0 + D}{A + B/Z_0 + CZ_0 + D}$
Z_{11}	$Z_0 \frac{(1 + S_{11})(1 - S_{22}) + S_{12}S_{21}}{(1 - S_{11})(1 - S_{22}) - S_{12}S_{21}}$	Z_{11}	$\frac{Y_{22}}{ Y }$	$\frac{A}{C}$
Z_{12}	$Z_0 \frac{2S_{12}}{(1 - S_{11})(1 - S_{22}) - S_{12}S_{21}}$	Z_{12}	$\frac{-Y_{12}}{ Y }$	$\frac{AD - BC}{C}$
Z_{21}	$Z_0 \frac{2S_{21}}{(1 - S_{11})(1 - S_{22}) - S_{12}S_{21}}$	Z_{21}	$\frac{-Y_{21}}{ Y }$	$\frac{1}{C}$
Z_{22}	$Z_0 \frac{(1 - S_{11})(1 + S_{22}) + S_{12}S_{21}}{(1 - S_{11})(1 - S_{22}) - S_{12}S_{21}}$	Z_{22}	$\frac{Y_{11}}{ Y }$	$\frac{D}{C}$
Y_{11}	$Y_0 \frac{(1 - S_{11})(1 + S_{22}) + S_{12}S_{21}}{(1 + S_{11})(1 + S_{22}) - S_{12}S_{21}}$	$\frac{Z_{22}}{ Z }$	Y_{11}	$\frac{D}{B}$
Y_{12}	$Y_0 \frac{-2S_{12}}{(1 + S_{11})(1 + S_{22}) - S_{12}S_{21}}$	$\frac{-Z_{12}}{ Z }$	Y_{12}	$\frac{BC - AD}{B}$
Y_{21}	$Y_0 \frac{-2S_{21}}{(1 + S_{11})(1 + S_{22}) - S_{12}S_{21}}$	$\frac{-Z_{21}}{ Z }$	Y_{21}	$\frac{-1}{B}$
Y_{22}	$Y_0 \frac{(1 + S_{11})(1 - S_{22}) + S_{12}S_{21}}{(1 + S_{11})(1 + S_{22}) - S_{12}S_{21}}$	$\frac{Z_{11}}{ Z }$	Y_{22}	$\frac{A}{B}$
A	$\frac{(1 + S_{11})(1 - S_{22}) + S_{12}S_{21}}{2S_{21}}$	$\frac{Z_{11}}{Z_{21}}$	$\frac{-Y_{22}}{Y_{21}}$	A
B	$Z_0 \frac{(1 + S_{11})(1 + S_{22}) - S_{12}S_{21}}{2S_{21}}$	$\frac{ Z }{Z_{21}}$	$\frac{-1}{Y_{21}}$	B
C	$\frac{1}{Z_0} \frac{(1 - S_{11})(1 - S_{22}) - S_{12}S_{21}}{2S_{21}}$	$\frac{1}{Z_{21}}$	$\frac{- Y }{Y_{21}}$	C
D	$\frac{(1 - S_{11})(1 + S_{22}) + S_{12}S_{21}}{2S_{21}}$	$\frac{Z_{22}}{Z_{21}}$	$\frac{-Y_{11}}{Y_{21}}$	D

$|Z| = Z_{11}Z_{22} - Z_{12}Z_{21}; \quad |Y| = Y_{11}Y_{22} - Y_{12}Y_{21}; \quad \Delta Y = (Y_{11} + Y_0)(Y_{22} + Y_0) - Y_{12}Y_{21}; \quad \Delta Z = (Z_{11} + Z_0)(Z_{22} + Z_0) - Z_{12}Z_{21}; \quad Y_0 = 1/Z_0$

功率增益

► 反射系数定义



注意： Z_o 称为参考阻抗，该阻抗为实数，通常为 50Ω 。

功率增益

➤ 功率定义

- 网络的输入功率，用 P_{IN} 表示
- 负载得到的功率，用 P_L 表示
- 信号源资用功率，用 P_{AVS} 表示， $P_{AVS} = P_{IN} \big|_{\Gamma_{IN} = \Gamma_S^*}$
- 网络输出资用功率，用 P_{AVN} 表示， $P_{AVN} = P_L \big|_{\Gamma_L = \Gamma_{OUT}^*}$

➤ 功率增益定义

- 转换功率增益(Transducer Power Gain): $G_T = \frac{P_L}{P_{AVS}}$
- 工作功率增益(Operating Power Gain): $G_P = \frac{P_L}{P_{IN}}$
- 资用功率增益(Available Power Gain): $G_A = \frac{P_{AVN}}{P_{AVS}}$

功率增益

➤ 反射系数

— 输入反射系数

$$\Gamma_{IN} = S_{11} + \frac{S_{12}S_{21}\Gamma_L}{1 - S_{22}\Gamma_L}$$

— 输出反射系数

$$\Gamma_{OUT} = S_{22} + \frac{S_{12}S_{21}\Gamma_S}{1 - S_{11}\Gamma_S}$$

➤ 功率增益

$$\begin{aligned} G_T &= \frac{1 - |\Gamma_S|^2}{|1 - \Gamma_{IN}\Gamma_S|^2} |S_{21}|^2 \frac{1 - |\Gamma_L|^2}{|1 - S_{22}\Gamma_L|^2} \\ &= \frac{1 - |\Gamma_S|^2}{|1 - S_{11}\Gamma_S|^2} |S_{21}|^2 \frac{1 - |\Gamma_L|^2}{|1 - \Gamma_{OUT}\Gamma_L|^2} \end{aligned}$$

$$G_P = \frac{1}{1 - |\Gamma_{IN}|^2} |S_{21}|^2 \frac{1 - |\Gamma_L|^2}{|1 - S_{22}\Gamma_L|^2}$$

$$G_A = \frac{1 - |\Gamma_S|^2}{|1 - S_{11}\Gamma_S|^2} |S_{21}|^2 \frac{1}{1 - |\Gamma_{OUT}|^2}$$

$$\begin{cases} \Gamma_{IN} = \Gamma_S^* \\ \Gamma_L = \Gamma_{OUT}^* \end{cases}$$



$$G_T = G_P = G_A$$

Smith圆图

- 用途：解决传输线、阻抗匹配等问题极为有用的图形工具
- 反射系数平面(Γ 平面)
 - 反射系数 $\Gamma = |\Gamma| e^{j\theta}$ 其模为 $|\Gamma|$ ($|\Gamma| \leq 1$)，相角为 θ ($-180^\circ \leq \theta \leq 180^\circ$)
 - 反射系数 Γ 可以用一个平面直角坐标中的点 (Γ_r, Γ_i) 来表示， Γ_r 和 Γ_i 分别是 Γ 的实部和虚部，即 $\Gamma = \Gamma_r + j\Gamma_i$
- 反射系数定义

$$\Gamma = \frac{Z - Z_0}{Z + Z_0} = \frac{Z/Z_0 - 1}{Z/Z_0 + 1} = \frac{z - 1}{z + 1} = |\Gamma| e^{j\theta} \quad z = \frac{1 + \Gamma}{1 - \Gamma} = \frac{1 + |\Gamma| e^{j\theta}}{1 - |\Gamma| e^{j\theta}}$$

- 其中 Z 为网络端口阻抗， Z_0 为参考阻抗（实数）， z 为归一化阻抗， $z = Z/Z_0$ ， Z_0 通常为 50Ω
- 阻抗和 Γ 平面上的点存在一一对应的关系

$$\text{设 } z = r + jx \text{ 则有 } r + jx = \frac{1 + \Gamma_r + j\Gamma_i}{1 - \Gamma_r - j\Gamma_i} \Rightarrow r = \frac{1 - \Gamma_r^2 - \Gamma_i^2}{(1 - \Gamma_r)^2 + \Gamma_i^2} \quad x = \frac{2\Gamma_i}{(1 - \Gamma_r)^2 + \Gamma_i^2}$$

Smith圆图

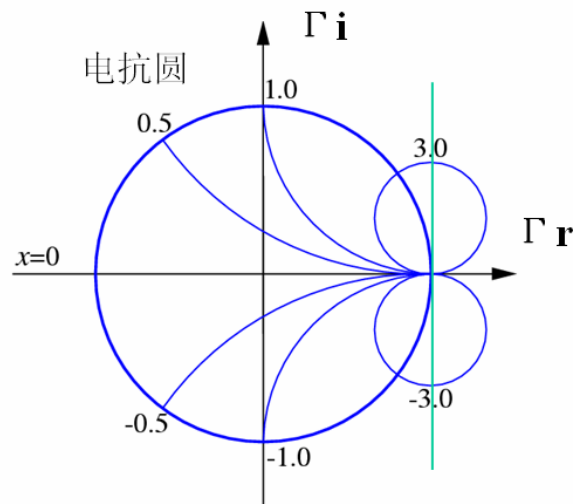
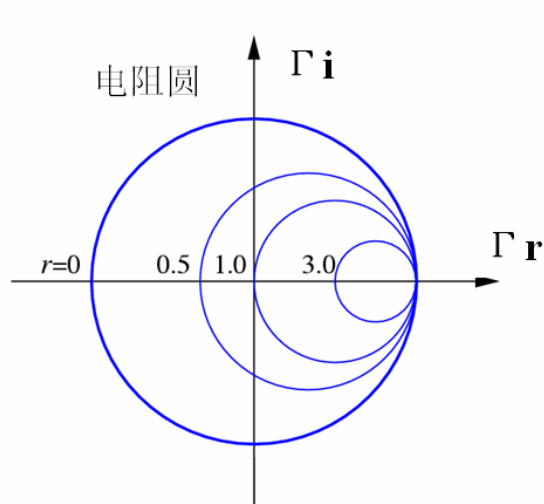
将上述公式重新整理后得

$$\left(\Gamma_r - \frac{r}{1+r}\right)^2 + \Gamma_i^2 = \left(\frac{1}{1+r}\right)^2 \quad (\Gamma_r - 1)^2 + \left(\Gamma_i - \frac{1}{x}\right)^2 = \left(\frac{1}{x}\right)^2$$

这两个公式对应直角平面 (Γ_r, Γ_i) 上的两组圆：电阻圆和电抗圆

电阻圆：半径 = $\frac{1}{1+r}$ 圆心： $\Gamma_r = \frac{r}{1+r}, \Gamma_i = 0$

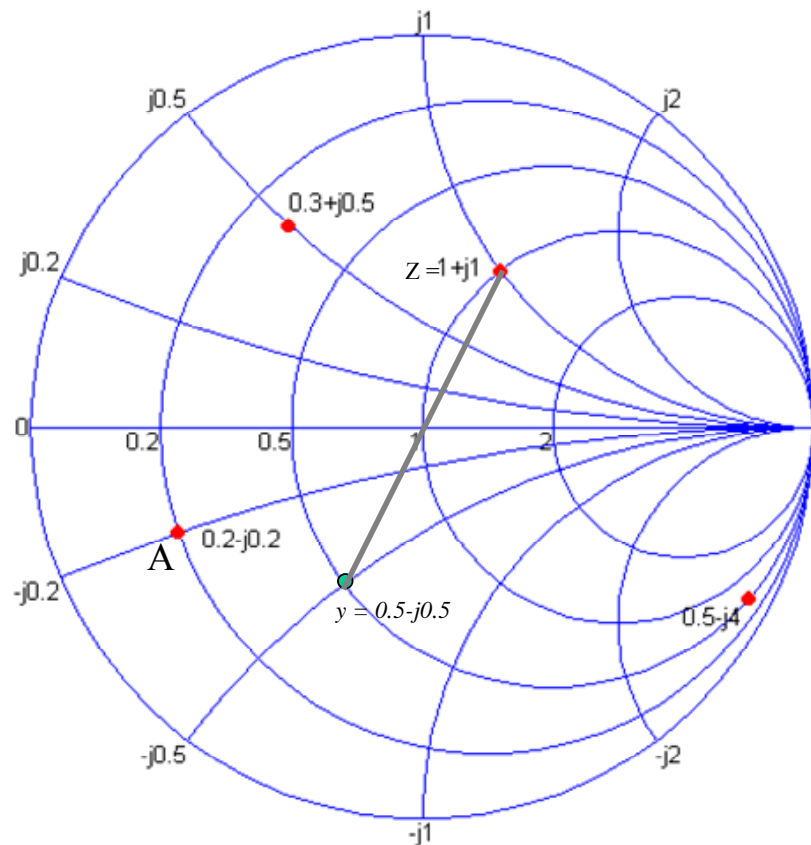
电抗圆：半径 = $\frac{1}{x}$ 圆心： $\Gamma_r = 1, \Gamma_i = \frac{1}{x}$



Smith圆图

➤ Smith 阻抗圆图

- 将电阻圆和电抗圆合并在一起即成为**Smith 阻抗圆图**
- 阻抗圆图的上半部分 x 为正数，表示感性
- 阻抗圆图的下半部分 x 为负数，表示容性
- 圆图上的任何一点对应着一个反射系数和一个归一化阻抗 z (由电阻和电抗的串联组成, $z=r+jx$)
- A点, $z=0.2-j0.2$, 电抗为容性
- 若归一化的参考电阻为 $Z_0=50\ \Omega$ 则 $Z = Z_0 z = 10 - j10\ \Omega$
- 阻抗到导纳的转换, 只需将该阻抗点在 Γ 平面上旋转 180° , 即导纳点是阻抗点关于原点的对称点



$$\Gamma_1 = \Gamma e^{j\pi} \rightarrow z_1 = \frac{1 + \Gamma_1}{1 - \Gamma_1} = \frac{1 + \Gamma e^{j\pi}}{1 - \Gamma e^{j\pi}} = \frac{1 - \Gamma}{1 + \Gamma} = \frac{1}{z} = y$$

Smith圆图

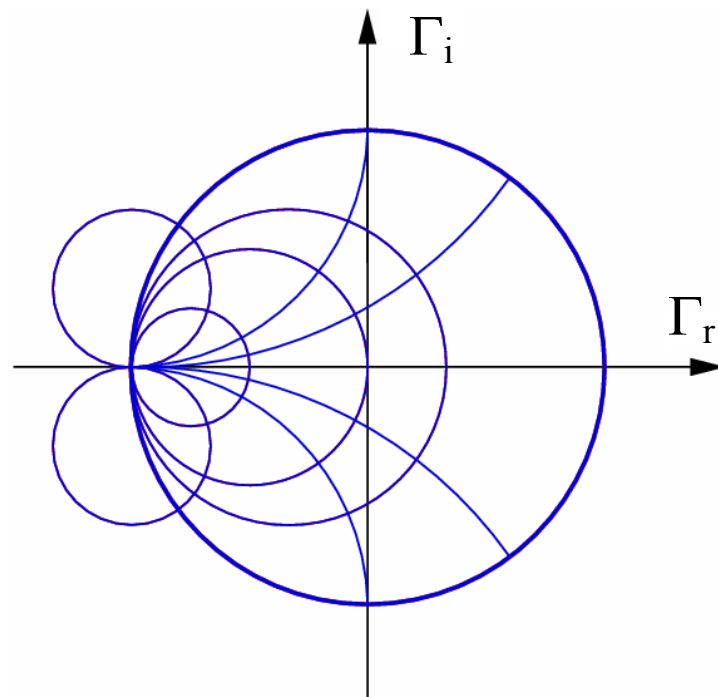
➤ Smith 导纳圆图

$$y = \frac{1}{z} = \frac{1-\Gamma}{1+\Gamma} = \frac{1+\Gamma e^{-j\pi}}{1-\Gamma e^{-j\pi}}$$

$$y = g + jb$$

$$\Gamma = \Gamma_r + j\Gamma_i$$

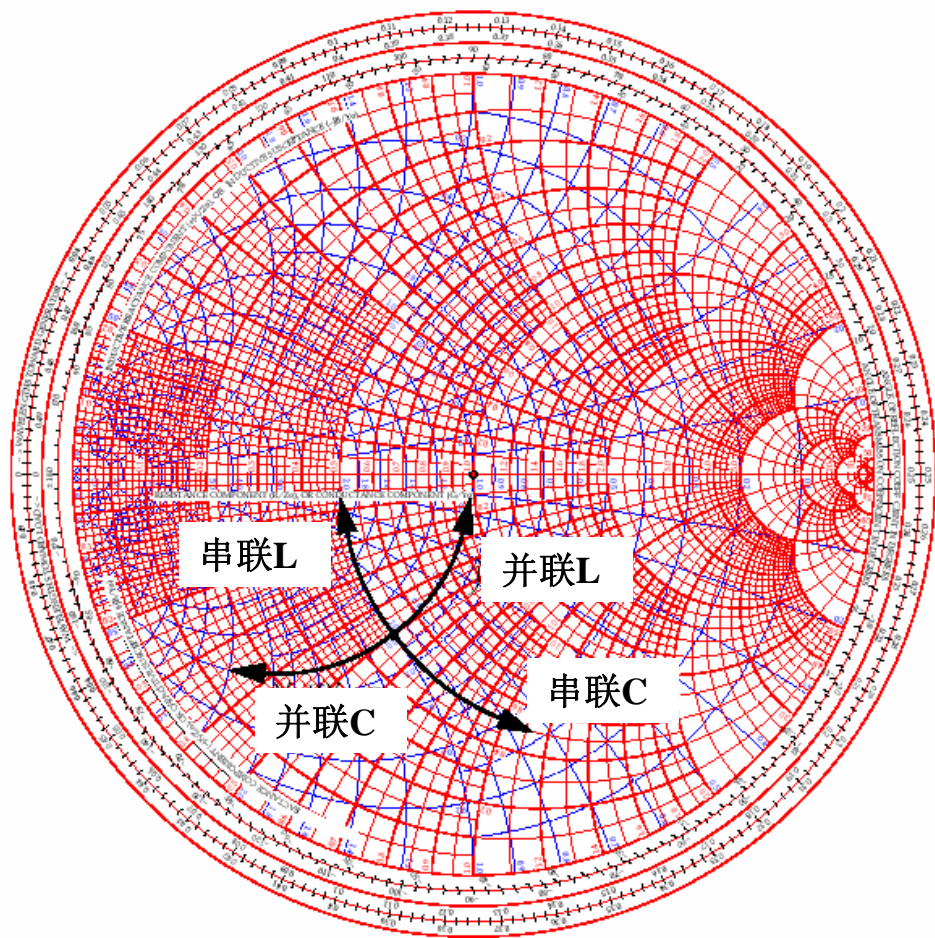
- 其中 y 为归一化导纳, $y=Y/Y_0$,
 Y 为网络端口导纳, Y_0 为参考导纳,
 Y_0 通常为 $1/50=0.02S$
- 导纳和 Γ 平面上的点存在一一对应的关系
- 将 **Smith 阻抗圆图**旋转 180° 得到的圆图称为 **Smith 导纳圆图**



Smith圆图

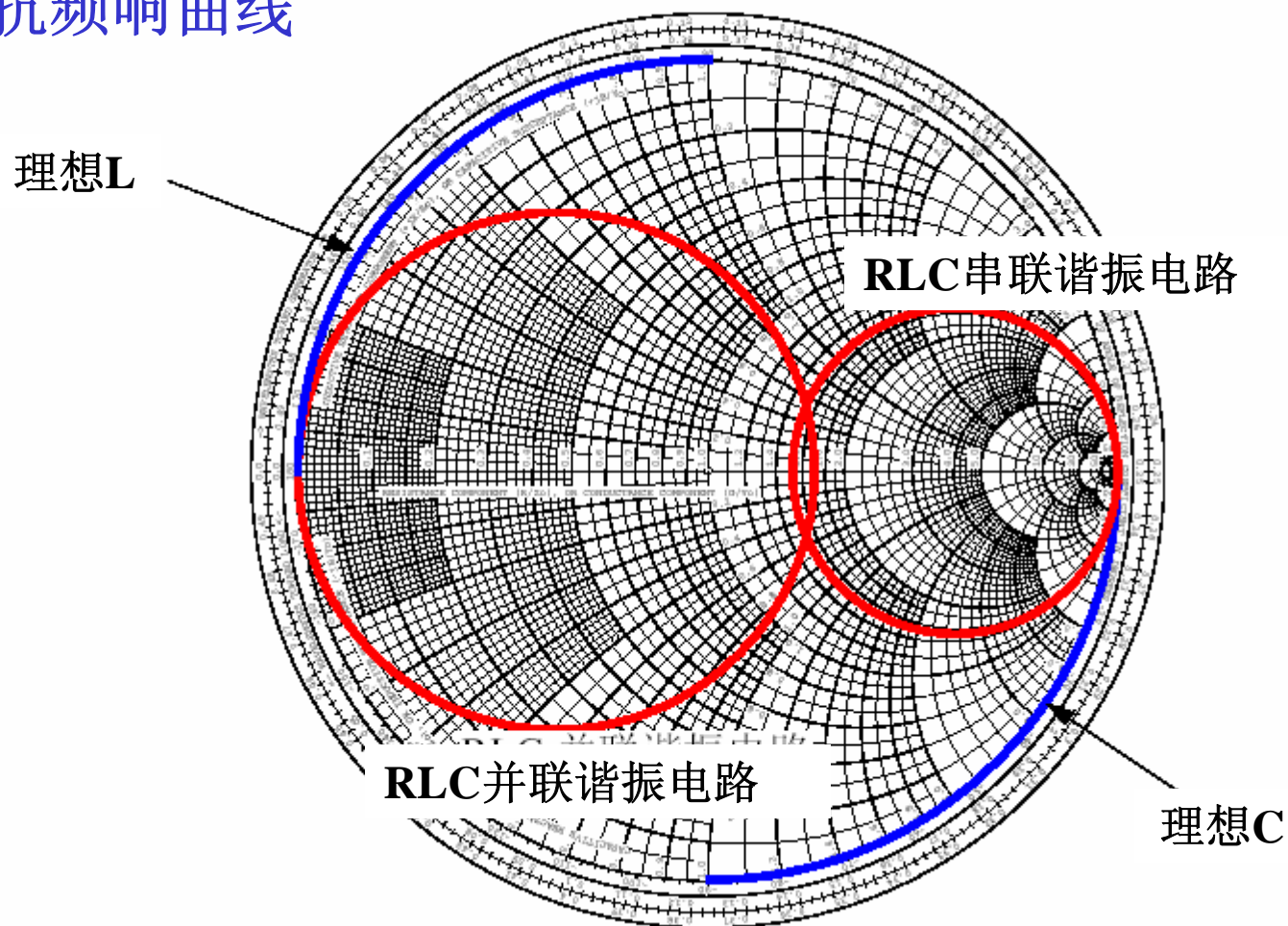
➤ Smith 阻抗导纳圆图

- 将阻抗圆图和导纳圆图叠加在一起的组合圆图称为 **Smith 阻抗导纳圆图 (ZY-Smith Chart)**
- 可方便地用于阻抗匹配
- $z = r + jx$
改变 x 对应等电阻圆 r
- $y = g + jb$
改变 b 对应等电导圆 g



Smith圆图

➤ 阻抗频响曲线



Smith圆图

➤ 传输线的阻抗变换

$$z_{in} = \frac{1 + \Gamma_L e^{-2j\beta l}}{1 - \Gamma_L e^{-2j\beta l}} = \frac{1 + \Gamma_{IN}}{1 - \Gamma_{IN}}$$

其中 l 为传输线长度

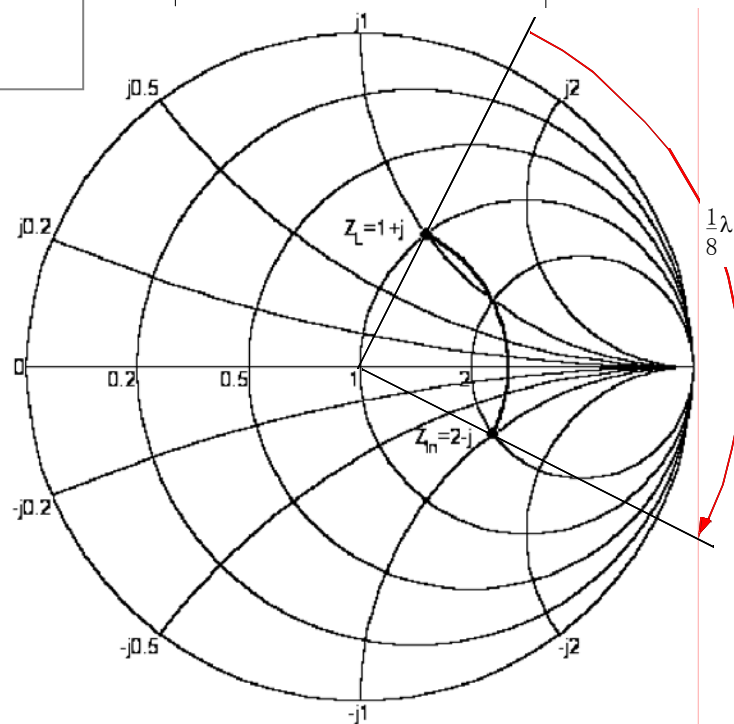
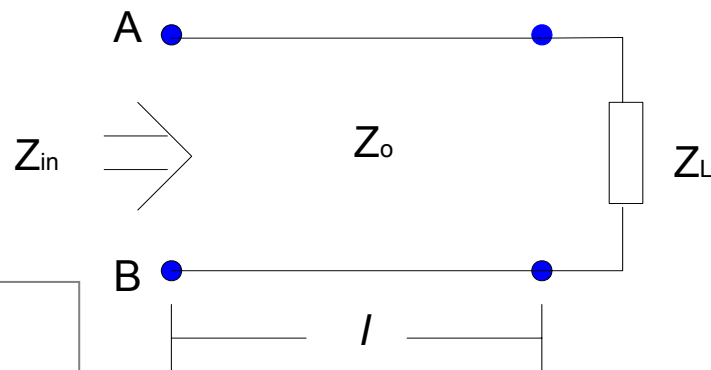
$$\beta = \frac{2\pi}{\lambda}, \lambda \text{ 为波长}$$

Γ_L 为 Z_L 端的反射系数

端口 **AB** 处的反射系数为 $\Gamma_L e^{-2j\beta l}$ ，与负载端的反射系数相比，其模不便，只是相角增加了 $-2\beta l$ 。在直角坐标系中，将归一化阻抗 z_L 绕着圆心，以 $|\Gamma_L|$ 为半径，顺时针旋转 $2\beta l$ 角度，对应的点即为归一化 z_{in} 。

顺时针旋转: $Z_L \rightarrow Z_{in}$

逆时针旋转: $Z_{in} \rightarrow Z_L$



Smith圆图

➤ 网络Q值与Smith圆图

— 电抗元件Q值：电阻值与电抗值之比

$$\text{当 } z = r + jx \text{ 时 则 } Q = \frac{x}{r}$$

$$\text{当 } y = g + jb \text{ 时 则 } Q = \frac{b}{g} = \frac{R_p}{X_p}$$

$$Q = \frac{x}{r} = \frac{2\Gamma_i}{1 - \Gamma_r^2 - \Gamma_i^2}$$

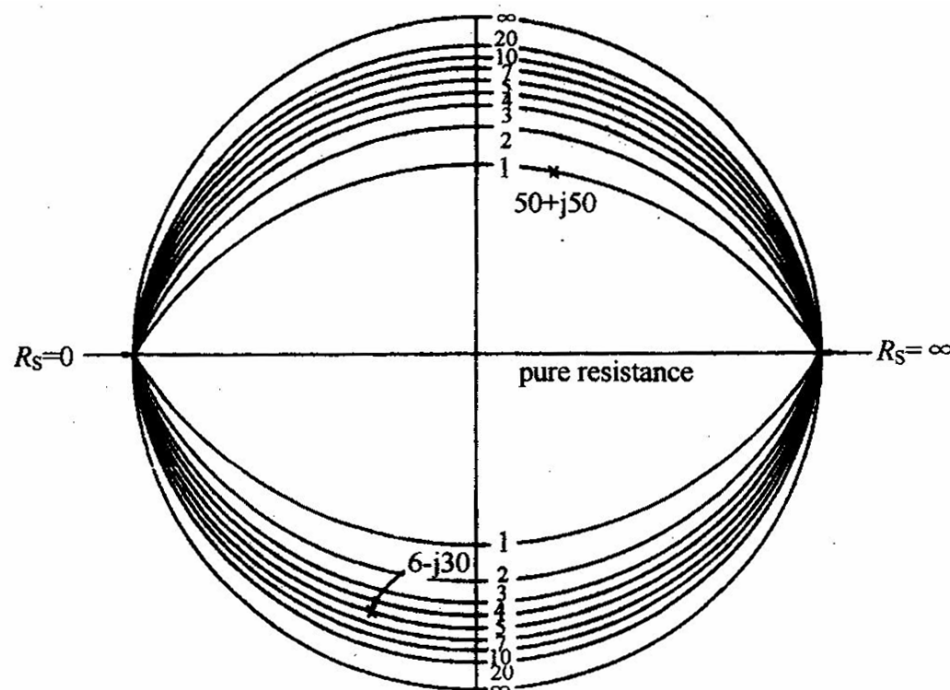
$$\text{则有 } \Gamma_r^2 + \left(\Gamma_i \pm \frac{1}{Q} \right)^2 = 1 + \frac{1}{Q^2}$$

— 在Smith圆图上的等Q曲线

$$\text{圆心: } \Gamma_r = 0, \Gamma_i = \pm 1/Q$$

$$\text{半径: } (1 + 1/Q^2)^{1/2}$$

— 在等Q曲线上可以设计指定Q值的阻抗匹配网络



Smith圆图

➤ Smith 圆图的应用

- 读取阻抗、导纳、反射系数、驻波比等
- 阻抗和传输线匹配网络设计
- 微波、射频放大器设计
- 微波、射频振荡器设计

➤ 小结

- Smith** 圆图是反射系数平面上的阻抗和导纳坐标系
- 平面直角坐标(反射系数)和圆坐标(阻抗和导纳)的结合使阻抗和传输线电路的计算变得非常直观，在高频放大器设计中有广泛的应用

阻抗匹配

➤ 阻抗匹配 (变换) 的必要性

- 可以向负载传输最大的功率
- 改善噪声系数
- 提高效率，延长电池寿命
- 提高滤波器和选频回路的性能
- 减少反射引起的失真

➤ 阻抗匹配应是无损耗的

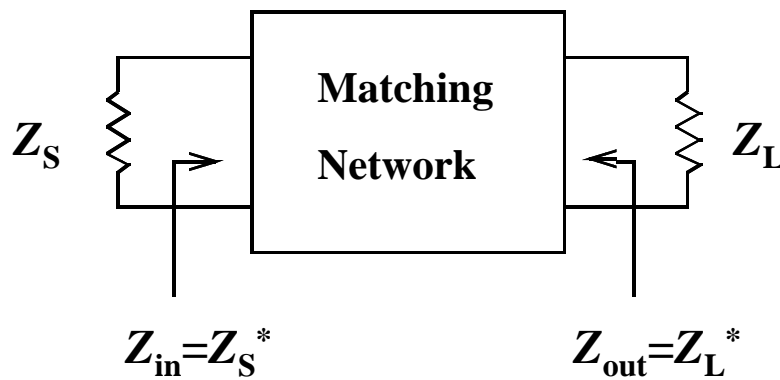
- 不用电阻网络

➤ 阻抗匹配的方法

- 用集总参数的电抗元件构成
- 采用微带构成
- 匹配网络可以是窄带网络或宽带网络
 - 窄带网络完成阻抗变换、滤波功能，滤波性能取决于Q值
- 方程算法或 **Smith** 圆图

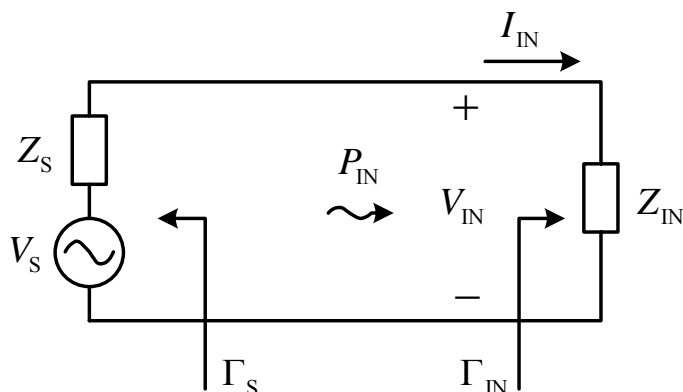
阻抗匹配

- 逻辑电路通常不需要匹配
 - 因为逻辑电路所传递的是电平的高低状态，而非能量或功率
- 两种不同的匹配概念
 - 传输线阻抗匹配: $Z_L = Z_0$ (实数)
 - 信号源阻抗匹配: $Z_{IN} = Z_S^*$



阻抗匹配

➤ 复数阻抗间的功率传输



(Z_S 和 Z_{IN} 均为复数)

$$Z_S = R_S + jX_S$$

$$Z_{IN} = R_{IN} + jX_{IN}$$

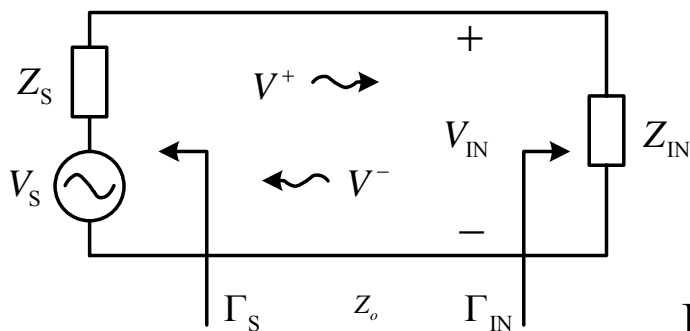
$$P_{IN} = \frac{1}{2} \operatorname{Re}[V_{IN} I_{IN}^*] = \frac{1}{2} \operatorname{Re} \left[V_S \frac{Z_{IN}}{Z_S + Z_{IN}} \frac{V_S^*}{(Z_S + Z_{IN})^*} \right]$$
$$= \frac{|V_S|^2}{2} \frac{R_{IN}}{(R_S + R_{IN})^2 + (X_S + X_{IN})^2}$$

— 实现最大功率传输

$$\begin{cases} \frac{\partial P_{IN}}{\partial R_{IN}} = 0 \\ \frac{\partial P_{IN}}{\partial X_{IN}} = 0 \end{cases} \Rightarrow \begin{cases} R_{IN} = R_S \\ X_{IN} = -X_S \end{cases} \Rightarrow \begin{cases} Z_{IN} = Z_S^* \\ \Gamma_{IN} = \Gamma_S^* \end{cases} \Rightarrow (P_{IN})_{\max} = P_{AVS} = \frac{|V_S|^2}{8R_S}$$

阻抗匹配

复数阻抗间的反射系数



V^+ : 为电路中无穷多入射电压的叠加

V^- : 为电路中无穷多反射电压的叠加

Γ : 为电路的稳态反射系数

Γ_S 和 Γ_{IN} : 是用内阻为 Z_0 的测量系统测量得到的反射系数, 是电路的瞬态反射系数。

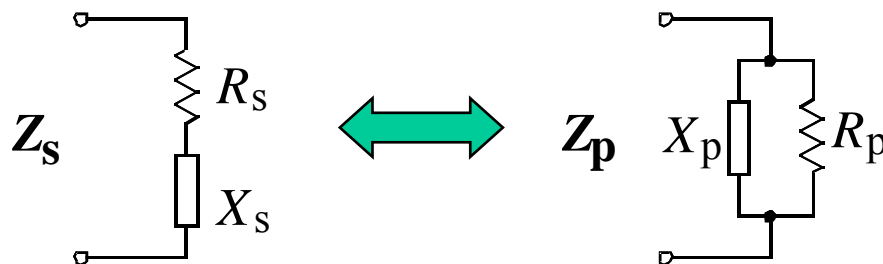
$$V^+ = \frac{Z_S^*}{Z_S + Z_S^*} V_S$$

$$V_{IN} = V^+ + V^- = \frac{Z_{IN}}{Z_S + Z_{IN}} V_S \quad \Rightarrow \quad V^- = \frac{Z_{IN}}{Z_S + Z_{IN}} V_S - V^+$$

$$\Gamma = \frac{V^-}{V^+} = \frac{Z_{IN}}{Z_S + Z_{IN}} \frac{V_S}{V^+} - 1 = \frac{Z_{IN}}{Z_S + Z_{IN}} \frac{Z_S + Z_S^*}{Z_S^*} - 1 \quad \Rightarrow \quad \boxed{\Gamma = \frac{V^-}{V^+} = \frac{Z_S}{Z_S^*} \frac{Z_{IN} - Z_S^*}{Z_{IN} + Z_S}}$$

阻抗匹配

➤ 串并联支路的阻抗转换



$$Z_s = R_s + jX_s = Z_p = \frac{jX_p R_p}{jX_p + R_p} \quad \text{以及} \quad Q = Q_s = Q_p = \frac{R_p}{X_p} = \frac{X_s}{R_s}$$

$$\text{则有} \quad R_s = R_p \frac{1}{1+Q^2} \quad X_s = X_p \frac{Q^2}{1+Q^2}$$

$$\text{或者} \quad R_p = (1+Q^2)R_s \quad X_p = (1+\frac{1}{Q^2})X_s$$

结论：当 $Q \gg 1$ 时， $X_s \approx X_p$ ， $R_s \approx R_p/Q^2$ ，即等效的电抗值保持不变，而等效的并联电阻值是等效串联电阻值的 Q^2 倍。通过引入另一个电抗或电纳元件使之与等效的并联或串联电抗谐振，就可以得到一个纯的等效电阻。

阻抗匹配

➤ 电容部分接入阻抗变换

$$Y = \frac{\left(\frac{1}{R_L} + j\omega C_2 \right) j\omega C_1}{\left(\frac{1}{R_L} + j\omega C_2 \right) + j\omega C_1}$$

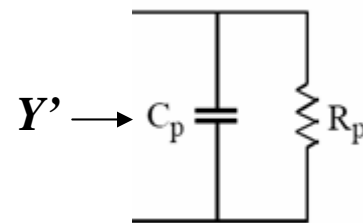
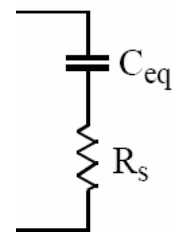
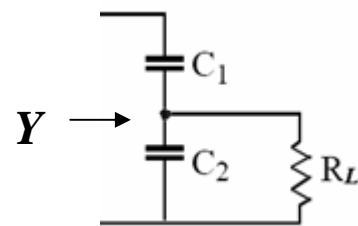
$$\rightarrow \begin{cases} R_p = \frac{R_L}{n^2} \left(1 + \frac{1}{Q_s^2} \right) \\ C_p = \frac{C_1 C_2}{C_1 + C_2} \left[1 + \frac{C_1}{C_2 (1 + Q_s^2)} \right] \end{cases}$$

n 是接入系数, Q_s 是当输入端短路时的电路 Q 值。

$$Q_s^2 \gg 1 \quad Q_s^2 + 1 \gg C_1 / C_2 \quad \rightarrow \begin{cases} R_p \approx \frac{R_L}{n^2} = \left(\frac{C_1 + C_2}{C_1} \right)^2 R_L \\ C_p \approx \frac{C_1 C_2}{C_1 + C_2} \end{cases}$$

$$Y' = \frac{1}{R_p} + j\omega C_p$$

$$\text{其中} \begin{cases} n = \frac{C_1}{C_1 + C_2} \\ Q_s = \omega (C_1 + C_2) R_L \end{cases}$$



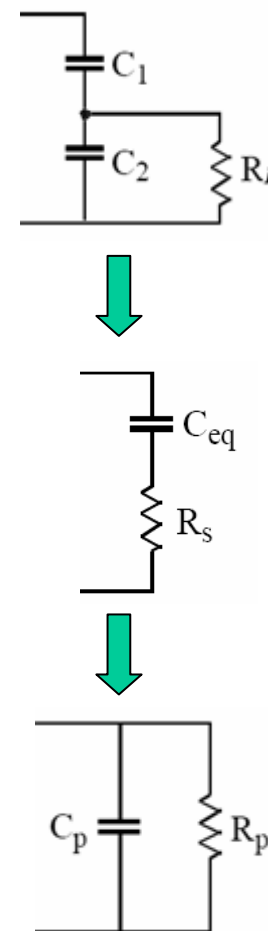
阻抗匹配

➤ 电容部分接入阻抗变换(续)

若已知电路工作频率 ω 、 Q 值($R_p // C_p$)、 R_L 和 R_p ，如何计算 C_1 和 C_2 呢？

$$\begin{cases} Q_2 = R_L \omega C_2 \\ Q = R_p \omega C_p \end{cases} \Rightarrow \frac{R_L}{1 + Q_2^2} = \frac{R_p}{1 + Q^2} \Rightarrow Q_2 = \sqrt{\frac{R_L}{R_p} (1 + Q^2) - 1}$$

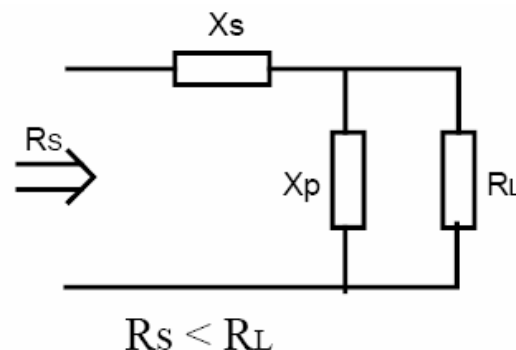
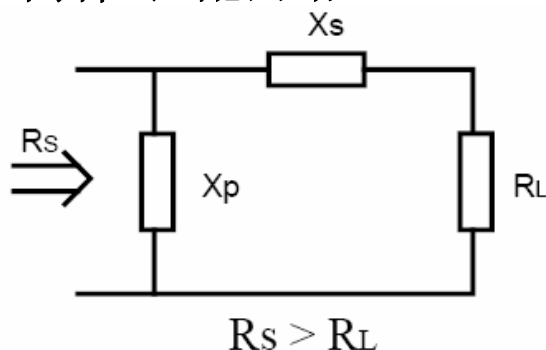
$$\begin{aligned} C_2 &= \frac{Q_2}{R_L \omega} \\ C_1 &= \frac{C_2}{\sqrt{R_p / R_L} - 1} \quad (Q_s^2 \gg 1) \end{aligned}$$



阻抗匹配

➤ L型匹配网络

- 组成：两个不同性质的电抗元件构成
- 特性：窄带网络，具有滤波功能 (Q)
- 两种L匹配网络

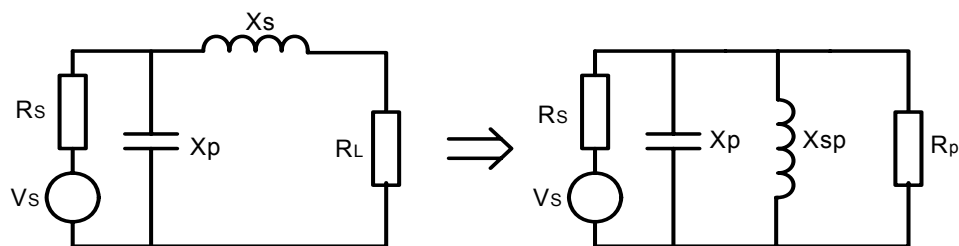


X_S 为串联支路电抗元件, X_P 为并联支路电抗元件

- 若已知 R_S 、 R_L ，并为纯电阻，电路工作频率为 ω_o ，可求出匹配网络 L 、 C 的值。

阻抗匹配

➤ L匹配网络计算公式 ($R_S > R_L$)



$$R_P = R_L \left[1 + \left(\frac{X_S}{R_L} \right)^2 \right] = R_L (1 + Q^2) = R_S \Rightarrow Q = \sqrt{\frac{R_S}{R_L} - 1}$$

$$X_{SP} = X_S \left[1 + \left(\frac{R_L}{X_S} \right)^2 \right] = X_S \left(1 + \frac{1}{Q^2} \right)$$

$$Q = \frac{X_S}{R_L} = \frac{R_P}{X_{SP}} = \frac{R_S}{X_P}$$

由已知条件 R_L 和 R_S 可以求出 $Q = \sqrt{\frac{R_S}{R_L} - 1}$

再由上面的公式求出 $X_S = QR_L$ 及 $X_P = \frac{R_S}{Q}$

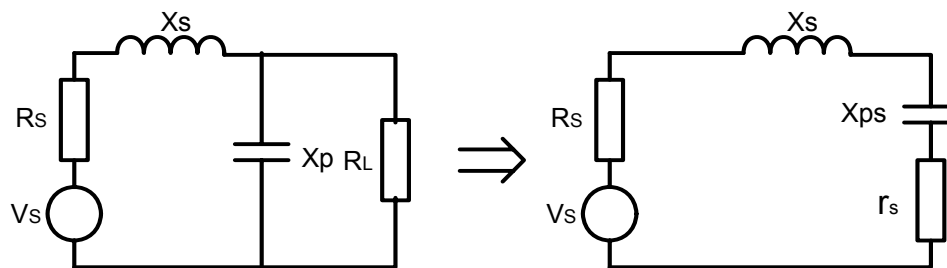
最后由工作频率 ω_0 可求出 L 和 C

由于此L网络仅在 ω_0 处并联谐振，电抗抵消，完成两电阻间阻抗匹配，因此它是一个窄带阻抗变换网络。

条件： $R_S > R_L$

阻抗匹配

➤ L匹配网络 ($R_s < R_L$)



由并串变换得 $r_s = \frac{R_L}{(1+Q^2)} = R_s$

此时支路的Q值为 $Q = \sqrt{\frac{R_L}{R_s} - 1}$, $Q = \frac{R_L}{X_p} = \frac{X_{ps}}{r_s} = \frac{X_{ps}}{R_s}$

- L匹配网络支路的Q值为 $Q = \sqrt{(R_{(大)} / R_{(小)}) - 1}$ 当源和负载电阻确定后，网络支路的Q值也就确定，并且L匹配网络的总负载Q值为 $Q_e = Q/2$ ，3dB带宽为 $BW \approx f_0 / Q_e$

$$\omega_0 \text{ 与 } Q \text{ 的关系为 } \omega_0 \approx \frac{1}{\sqrt{LC}} \sqrt{1 - \frac{1}{Q^2}} = \frac{1}{\sqrt{LC}} \sqrt{1 - \frac{1}{4Q_e^2}}$$

阻抗匹配

➤ L匹配网络举例

已知信号源内阻 $R_S=12\Omega$ ，并串有寄生电感 $L_S=1.2\text{nH}$ 。负载电阻 $R_L=58\Omega$ ，并带有并联的寄生电容 $C_L=1.8\text{pF}$ ，工作频率为 $f=1.5\text{GHz}$ 。设计 L 匹配网络，使信号源和负载达到共轭匹配。

解 已知 $R_L > R_S$

$$\text{计算 } Q \text{ 值: } Q = \sqrt{\frac{R_L}{R_S} - 1} = \sqrt{\frac{58}{12} - 1} = 1.96$$

$$\text{计算 } L \text{ 网络并联支路电抗: } X_p = \frac{R_L}{Q} = \frac{58}{1.96} = 29.6\Omega$$

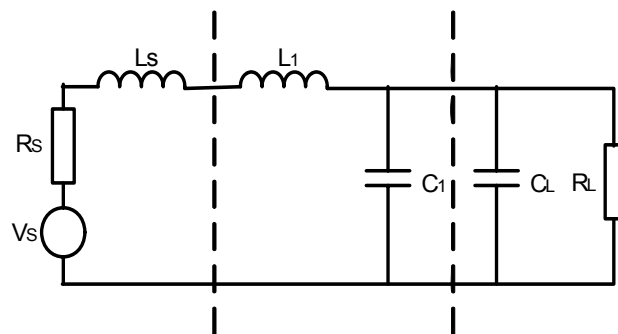
$$\text{计算 } L \text{ 网络串联支路电抗: } X_s = QR_S = 1.96 \times 12 = 23.5\Omega$$

$$\text{则 电容 } C_p = \frac{1}{2\pi f X_p} = \frac{1}{2\pi \times 1.5 \times 10^9 \times 29.6} = 3.58\text{pF}$$

$$\text{电感 } L = L_1 + L_s = \frac{X_s}{2\pi f} = \frac{23.5}{2\pi \times 1.5 \times 10^9} = 2.5\text{nH}$$

$$\text{得 } L_1 = L - L_s = 2.5 - 1.2 = 1.3\text{nH}$$

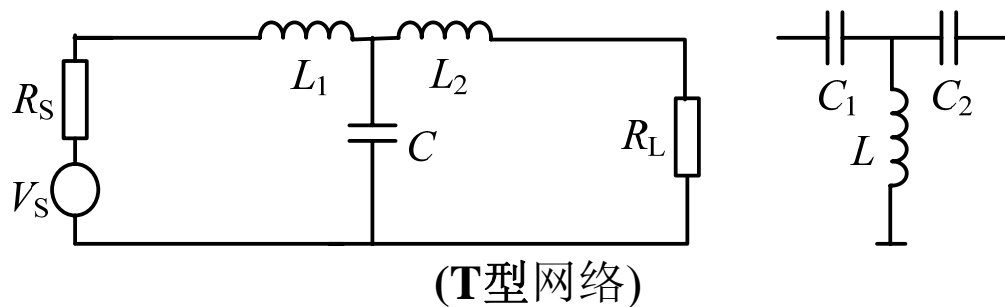
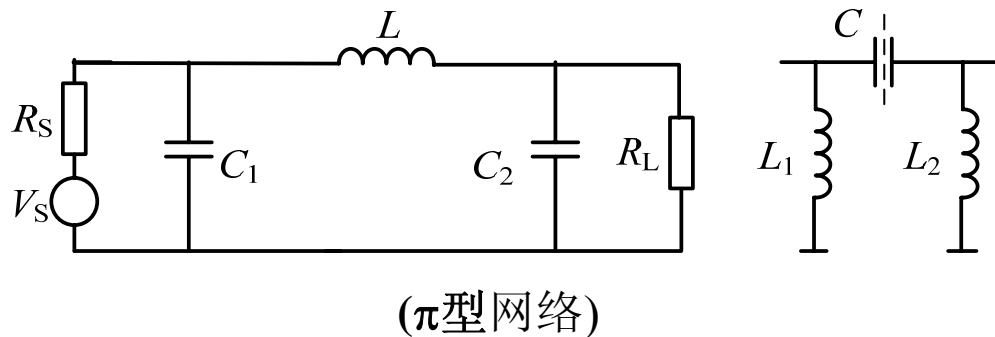
$$C_1 = C_p - C_L = 3.58 - 1.8 = 1.78\text{pF}$$



阻抗匹配

➤ π 和T型匹配网络

- 当 R_S 和 R_L 确定后， L 网络的 Q 也就确定了，这可能不满足滤波要求。这时可采用3个电抗元件的匹配网络，此时 Q 值可由设计者确定。



阻抗匹配

► π 型匹配网络的计算

- ◆ L 分解为 L_1 和 L_2
- ◆ π 分解为两个L网络
- ◆ R_S 经 L_1 和 C_1 变换为中间电阻 R_i
且 $R_i < R_S$
- ◆ R_L 经 L_2 和 C_2 变换为中间电阻 R_i
且 $R_i < R_L$
- ◆ 当两个中间电阻 R_i 相等时就完成

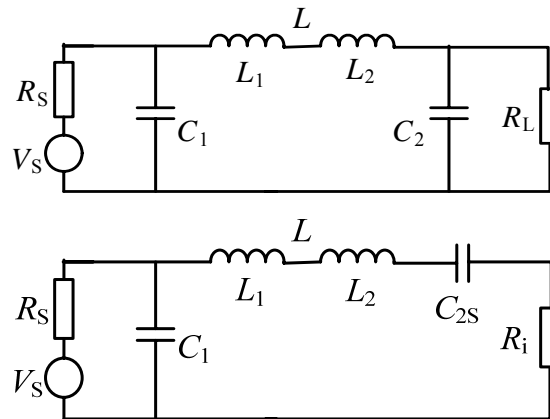
了阻抗匹配 $L_1 C_1$ 组成的L网络 $\Rightarrow Q_1 = \sqrt{\frac{R_S}{R_i} - 1}$ 有载 Q 为 $Q_{e1} = \frac{1}{2}Q_1$

$L_2 C_2$ 组成的L网络 $\Rightarrow Q_2 = \sqrt{\frac{R_L}{R_i} - 1}$ 有载 Q 为 $Q_{e2} = \frac{1}{2}Q_2$

- ◆ 由于 R_i 为未知数，所以设计者可以在 Q_1 和 Q_2 中选定一个。网络带宽由 Q_1 和 Q_2 共同决定，但较大的 Q 起主导作用。因此在设定 Q 值时，可以选择 Q_1 和 Q_2 中较大的那个 Q 值。

◆ π 型匹配网络的有载 Q 值 电路 Q 值 $Q = \frac{L\omega_0}{R_i} = \frac{L_1\omega_0}{R_i} + \frac{L_2\omega_0}{R_i} = Q_1 + Q_2$

网络有载 Q 值 $Q_e = \frac{L\omega_0}{2R_i} = \frac{L_1\omega_0}{2R_i} + \frac{L_2\omega_0}{2R_i} = \frac{1}{2}Q_1 + \frac{1}{2}Q_2 = Q_{e1} + Q_{e2}$



阻抗匹配

► π 型匹配网络举例

设 $R_S=10\ \Omega$, $R_L=100\ \Omega$, $f=3.75\text{MHz}$, 较大的有载 Q_e 值为4, 求 π 型匹配网络。
因为 $R_L > R_S$, 所以较大的 Q_e 在负载端, 有 $Q_{e2}=Q_e$, $Q_2=2Q_{e2}=8$

$$R_i = \frac{R_L}{1+Q_2^2} = \frac{100}{65} = 1.538\ \Omega$$

$R_i < R_S \Rightarrow$ 设计方案可行

$$\text{负载端并联电容 } X_{C2} = \frac{R_L}{Q_2} = \frac{100}{8} = 12.5\ \Omega \Rightarrow -j12.5\ \Omega$$

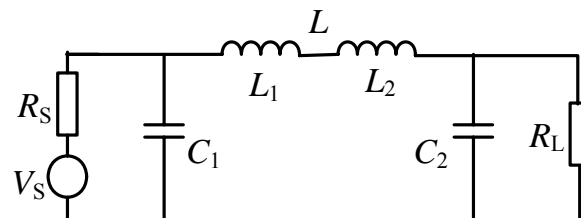
$$\text{负载端串联电感 } X_{L2} = Q_2 R_i = 8 \times 1.538 = 12.3\ \Omega \Rightarrow j12.3\ \Omega$$

$$\text{源端 } Q_1 = \sqrt{\frac{R_S}{R_i}} - 1 = \sqrt{\frac{10}{1.538}} - 1 = 2.346$$

$$\text{源端并联电容 } X_{C1} = \frac{R_S}{Q_1} = \frac{10}{2.346} = 4.263\ \Omega \Rightarrow -j4.263\ \Omega$$

$$\text{源端串联电感 } X_{L1} = Q_1 R_i = 2.346 \times 1.538 = 3.608\ \Omega \Rightarrow j3.608\ \Omega$$

$$\text{得 } C_1 = \frac{1}{\omega_0 X_{C1}} = 9955\ \text{pF} \quad L = \frac{X_L}{\omega_0} = \frac{X_{L1} + X_{L2}}{\omega_0} = 0.675\ \text{mH} \quad C_2 = \frac{1}{\omega_0 X_{C2}} = 3395\ \text{pF}$$



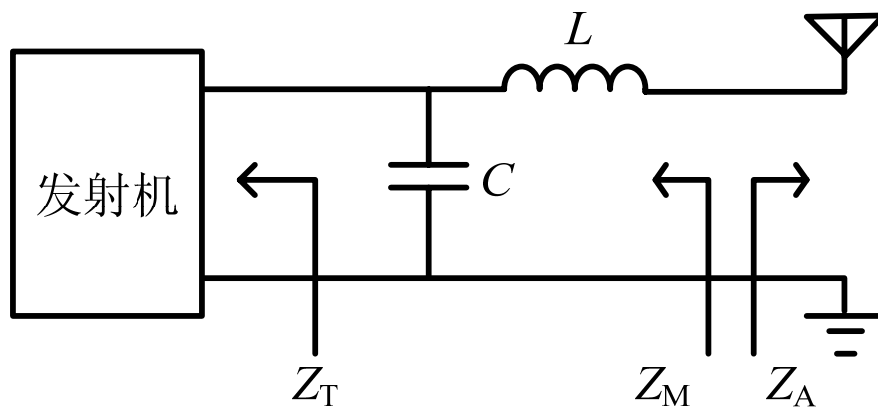
阻抗匹配（利用Smith圆图）

➤ L型匹配网络

例题1：已知发射机在2GHz频率点的输出阻抗是 $Z_T=(150+j75)\Omega$ 。设计L型匹配网络，使输入阻抗为 $Z_A=(75+j15)\Omega$ 的天线能够得到最大功率。

- 最大功率传输的条件是共轭匹配

$$Z_M = Z_A^* = (75 - j15)\Omega$$



阻抗匹配（利用Smith圆图）

◆ 计算归一化阻抗, 取 $Z_0 = 75 \Omega$

$$z_T = Z_T / Z_0 = (150 + j75) / 75 = 2 + j1$$

$$y_T = 0.4 - j0.2$$

$$z_A = Z_A / Z_0 = (75 + j15) / 75 = 1 + j0.2$$

$$z_M = z_A^* = 1 - j0.2$$

◆ 由图得

$$z_{TC} = 1 - j1.22$$

$$y_{TC} = 0.4 + j0.49$$

◆ 并联电容的归一化电纳

$$jb_C = y_{TC} - y_T = j0.69$$

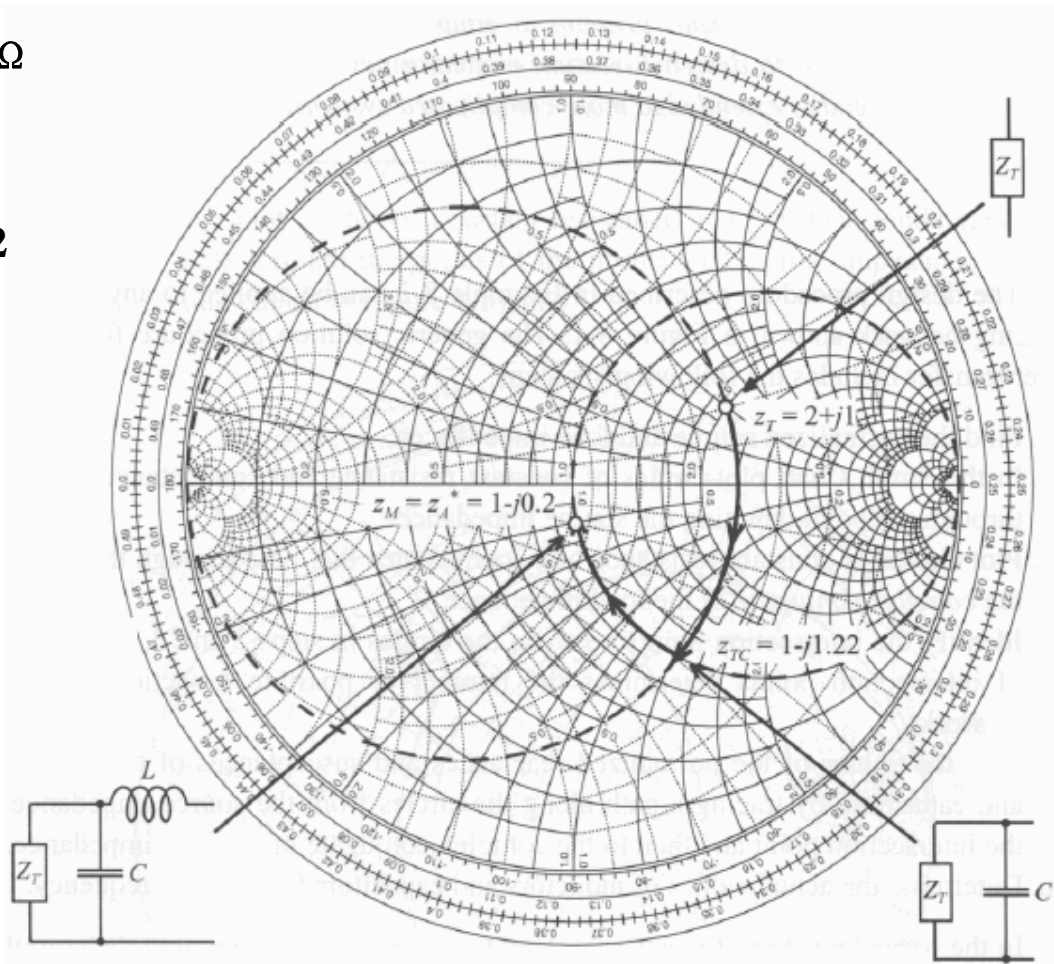
◆ 串联电感的归一化电抗

$$jx_L = z_M - z_{TC} = j1.02$$

◆ 计算 L 和 C

$$L = x_L Z_0 / \omega = 6.09 \text{ nH}$$

$$C = b_C / (\omega Z_0) = 0.73 \text{ pF}$$



阻抗匹配（利用Smith圆图）

► T型匹配网络设计

例题：设计一个T型匹配网络，将 Z_L 变换为 Z_{in} 。

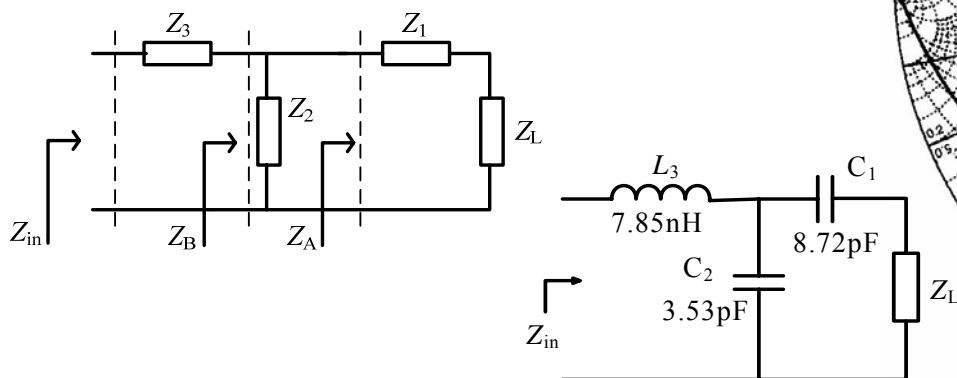
已知 $Z_L = (60 - j30) \Omega$, $Z_{in} = (10 + j20) \Omega$,

最大节点品质因数等于3, $f = 1\text{GHz}$ 。

解：取 $Z_0 = 50 \Omega$

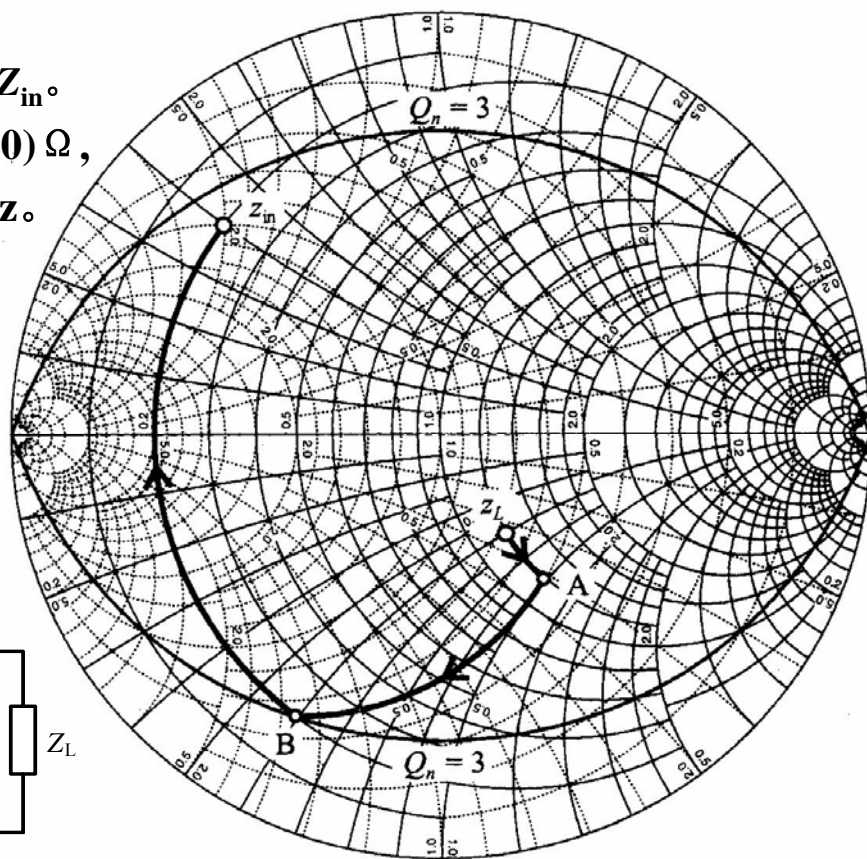
得 $z_L = 1.2 - j0.6$

$z_{in} = 0.2 + j0.4$



$$L_3 \omega = 7.85 \times 10^{-9} \times 2\pi \times 10^9 = 49.3 \Omega$$

$$\text{B点右侧阻抗} = Z_{in} - jL_3 \omega = 10 + j20 - j49.3 = 10 - j29.3 \Rightarrow \text{最大节点 } Q_n \approx 3$$



阻抗匹配（利用Smith圆图）

➤ π 型匹配网络设计

例题：已知宽带放大器需要一个 π 型匹配网络，要求该网络将 $Z_L = (10 - j10)\Omega$ 的负载阻抗变换成 $Z_{in} = (20 + j40)\Omega$ 的输入阻抗，并具有最小的节点品质因数，工作频率为 $f = 2.4\text{GHz}$ ，求各元件值。

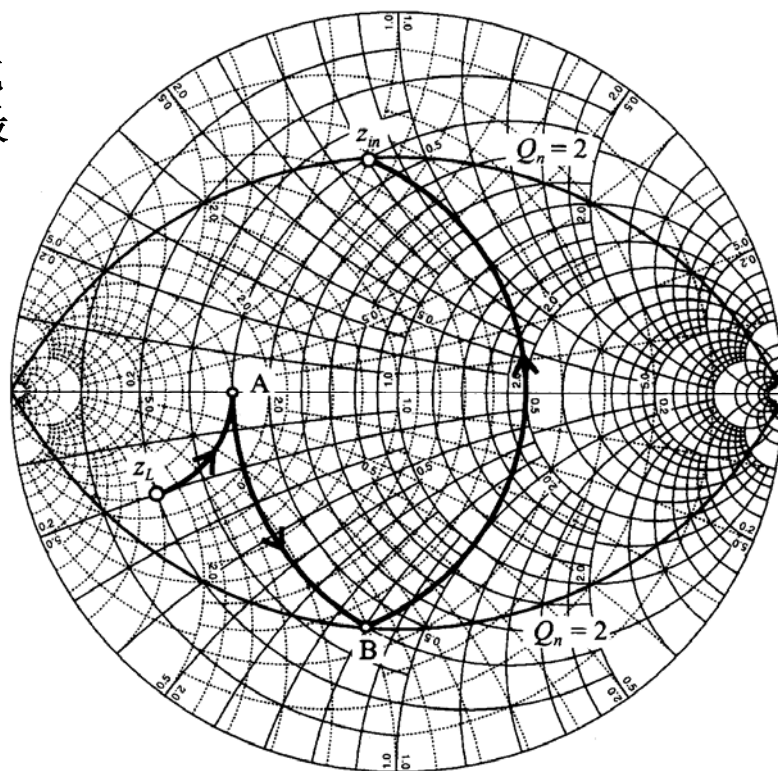
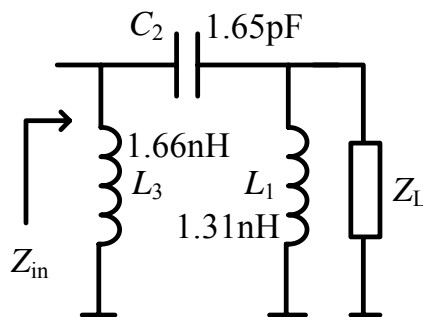
解： Z_L 和 Z_{in} 对应的 Q 值分别为1和2

匹配网络的最小节点品质因数为 $Q_n = 2$

取 $Z_0 = 50\Omega$

$z_{in} = 0.4 + j0.8$

$z_L = 0.2 - j0.2$



具有最小 Q_n 值的 π 型匹配网络设计

阻抗匹配（利用Smith圆图）

➤ 短截线(Stub)阻抗匹配设计

◆ 确定两个参数：

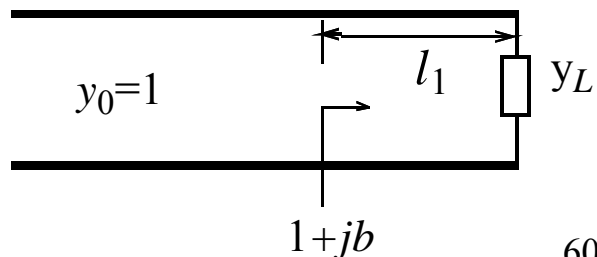
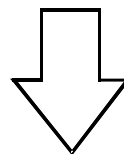
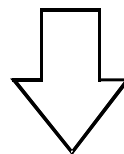
- **Stub**的接入位置
- **Stub**的长度

Stub的特征阻抗不必与主传输线相同，但相同的特征阻抗会带来一些方便，同时，由于**Stub**是并联接入的，更适合在导纳圆图上设计

◆ 基本设计步骤

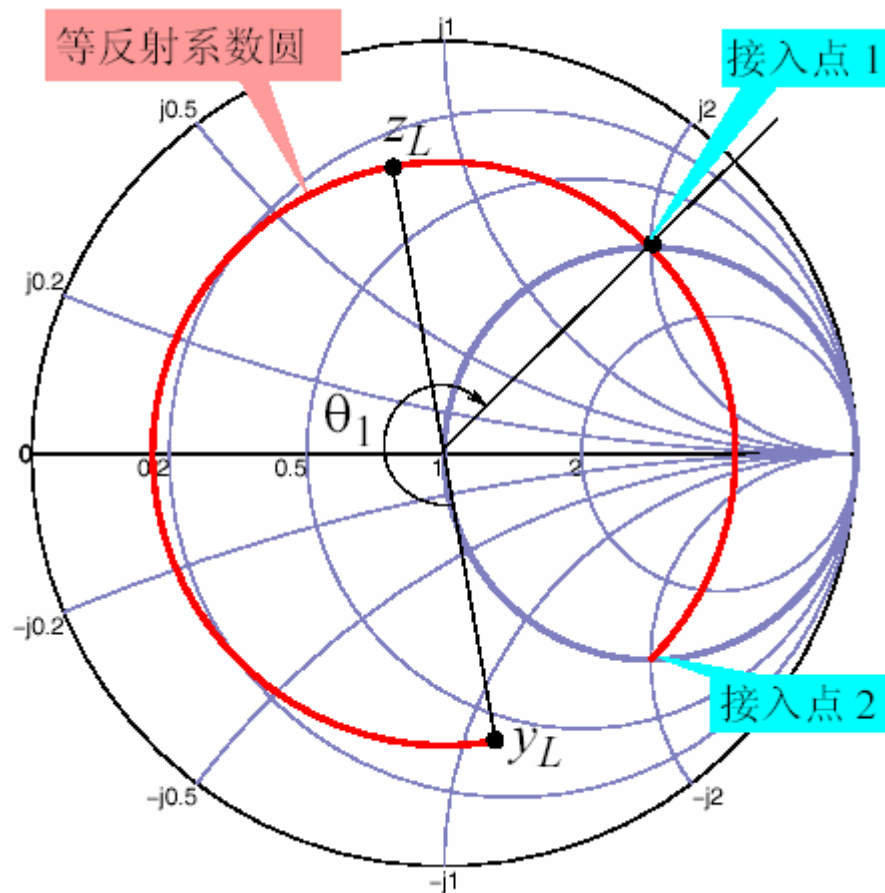
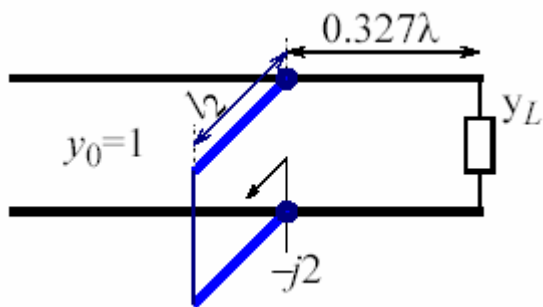
- 在圆图上将归一化的阻抗 z_L 转换成归一化的导纳 y_L ，阻抗圆图也就成为导纳圆图
- 画出 z_L 或 y_L 所对应的反射系数圆，找出其与单位电导圆的交点，通常存在两个交点 $1+jb$ 和 $1-jb$ ($b>0$)，可以选择一个进行设计

$$\Gamma(x) = \Gamma_L e^{2j\beta x} \Rightarrow \Gamma(-l_1) = \Gamma_L e^{-2j\beta l_1}$$



阻抗匹配（利用Smith圆图）

- 在本例中 $z_L = 0.286 + j0.795$, $y_L = 0.4 - j1.114$ 等反射系数圆与单位导纳圆有两个交点 $1+j2$ 和 $1-j2$, 这是两个可能的**Stub** 接入点
- 选择接入点1, 可以读出 从 y_L 到 $1+j2$ 反射系数变化了 **235.2度**, 由于 $\theta_1 = 2\beta l_1$, $\beta\lambda = 2\pi$, 所以 $l_1 = 0.327\lambda$
- 下一步求**Stub**的长度 l_2



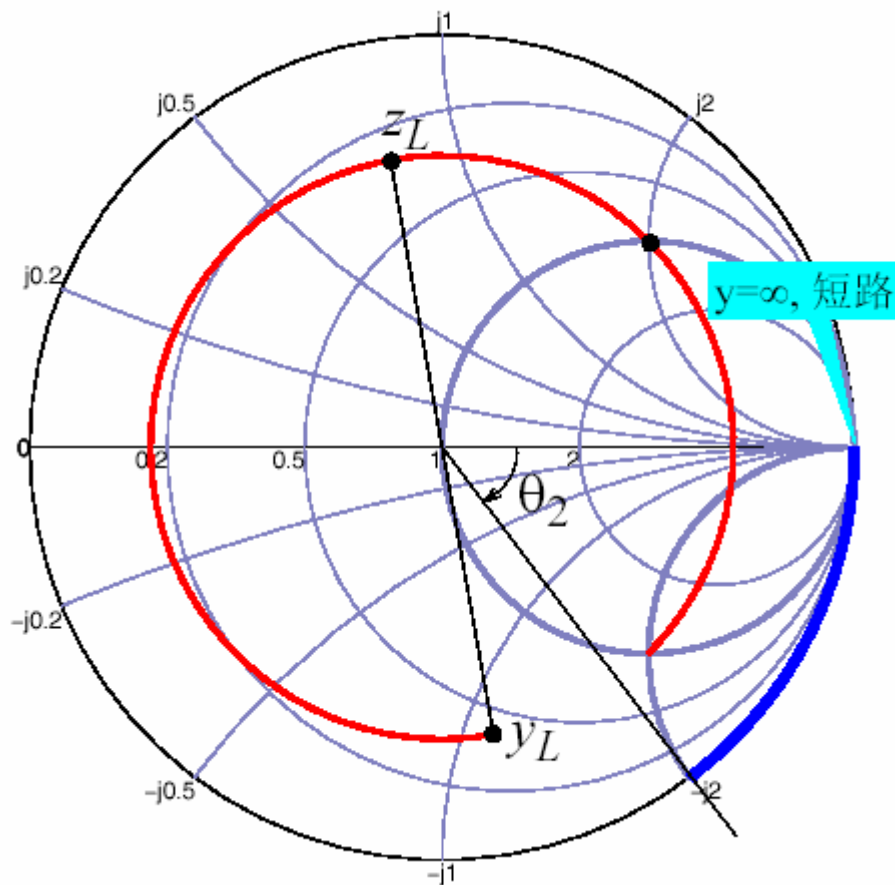
阻抗匹配（利用Smith圆图）

- **Stub**可以短路或开路，用来获得一个纯归一化电纳 $-j2$;
- 假设**Stub**特征阻抗与主传输线相同，并且使用短路线，从图中可得

$$\theta_2 = 53.1^\circ$$

$$\theta_2 = 2\beta l_2 \Rightarrow l_2 = \theta_2 / 2\beta = (\theta_2 / 4\pi)\lambda$$

$$\text{因此 } l_2 = 0.074 \lambda$$



阻抗匹配（利用Smith圆图）

- 假设**Stub**特征阻抗与主传输线相同且使用开路线，从图中可得

$$\theta_2 = 233.1^\circ$$

$$l_2 = 0.324 \lambda$$

